

# 「スペクトルを読もう」

はじめに

質量分析法の解説スライドです。

1. H29年春の総集編(PDF,369KB)
2. 原理(PDF,722KB)
3. 精密質量・同位体パターンから分子式推定(PDF,834KB)
4. EI-MSのフラグメンテーション(PDF,818KB)
5. "New"スペクトルに現れるさまざまなイオンから分子の質量を推定する(PDF, 236KB)

質量分析(MS)

1. MS概要
2. 分子量の決定、各種イオン化法
3. いろいろな質量分析計～質量分離の方法
4. いろいろな質量分析計～クロマトグラフ質量分析計
5. スペクトルの見方～測定条件・ヘッダの見方
6. HR-MS(High Resolution Mass Spectrometry)による分子式の推定

核磁気共鳴(NMR)

1. NMR概要
2. NMRの基本原理
3.  $^1\text{H}$ -NMRスペクトルの見方
4.  $^{13}\text{C}$ -NMRスペクトルの見方
5. 二次元NMRとは?(linalool)

応用編

1. 二次元NMR法によるシグナルの帰属(thymol)  
演習(ferulic acidの帰属)
2. 二糖のNMR解析(sucrose) オリゴ糖のNMR解析の基礎としてシュークロースの帰属、糖残基の結合位置の決定を行います。
3. 未知化合物の構造推定(carvone)と立体化学の考察(NOESY,NOE差スペクトル)  
演習-1  
演習-2
4. 配糖体の構造解析(naringin)アグリコンの構造推定、糖の結合位置決定を行います。



「MS NMR」で検索

<http://lab.agr.hokudai.ac.jp/ms-nmr/>

N379室

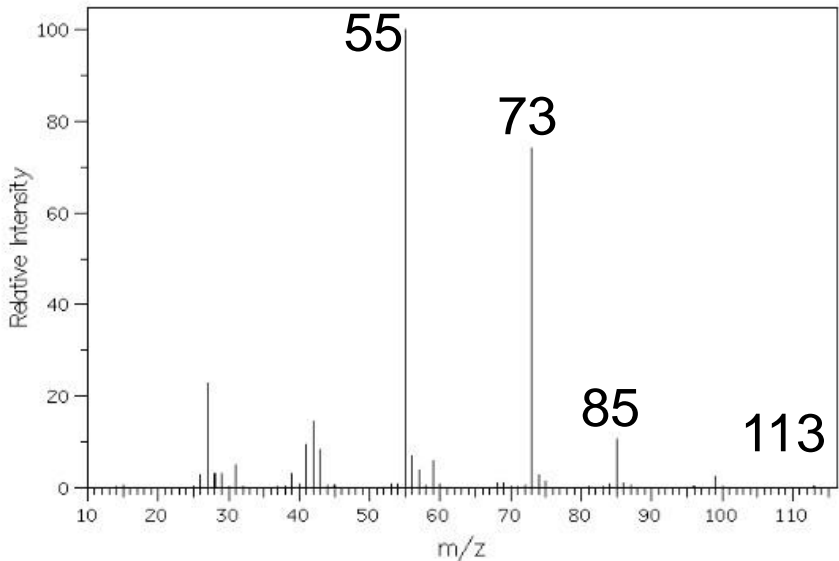
図書室の上

情報処理室の向かい  
窓なし金属ドア

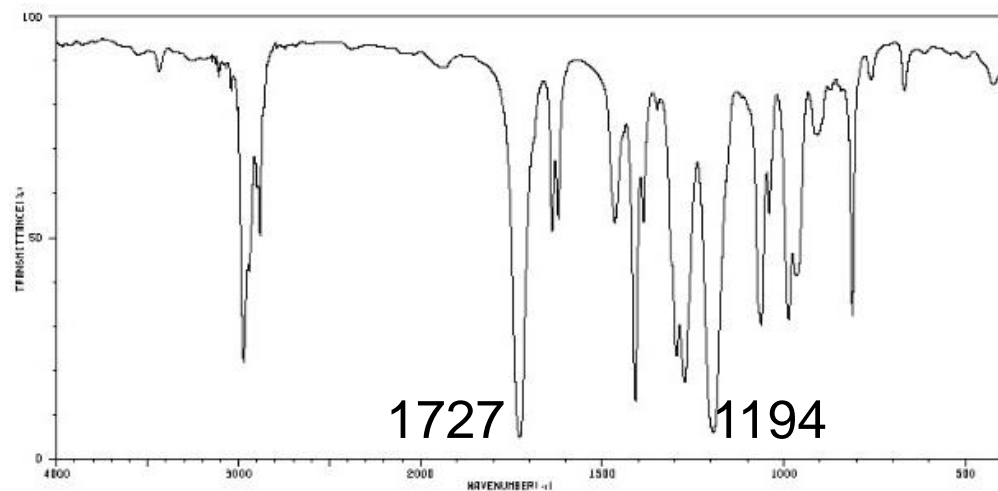
高田 祐輔

平日8:30-17:00

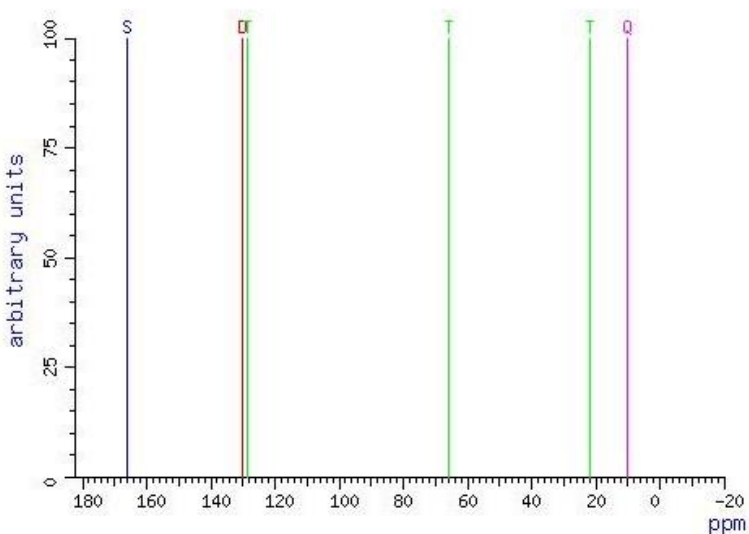
# 2017年本試験



6.40 (1H, dd,  $J=17.4, 1.8$ )  
 6.12 (1H, dd,  $J=17.4, 10.4$ )  
 5.81 (1H, dd,  $J=10.4, 1.8$ )  
 4.11 (2H, t,  $J=6.6$ )  
 1.69 (2H, sex like)  
 0.96 (3H, t,  $J=7.4$ )



166.4 S  
 130.5 D  
 128.6 T  
 66.1 T  
 22.0 T  
 10.4 Q



# 水素、炭素を数える

## $^1\text{H}$ (プロトン)NMRのシフト表

6.40	(1H, dd, $J=17.4, 1.8$ )
6.12	(1H, dd, $J=17.4, 10.4$ )
5.81	(1H, dd, $J=10.4, 1.8$ )
4.11	(2H, t, $J=6.6$ )
1.69	(2H, sex like)
0.96	(3H, t, $J=7.4$ )

## $^{13}\text{C}$ (カーボン)NMRのシフト表

166.4	S
130.5	D
128.6	T
66.1	T
22.0	T
10.4	Q

$$1+1+1+2+2+3=10$$

$$1+1+1+1+1+1=6$$

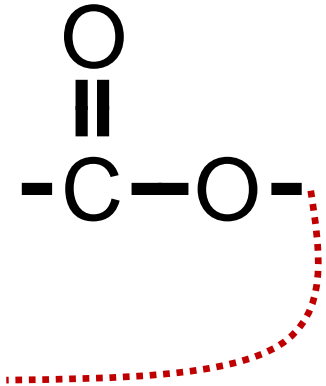
炭素は各ピークに  
数が書かれていない  
通常は1個ずつと考える



# 酸素数を予想する

6.40 (1H, dd,  $J=17.4, 1.8$ )  
6.12 (1H, dd,  $J=17.4, 10.4$ )  
5.81 (1H, dd,  $J=10.4, 1.8$ )  
4.11 (2H, t,  $J=6.6$ )  
1.69 (2H, sex like)  
0.96 (3H, t,  $J=7.4$ )

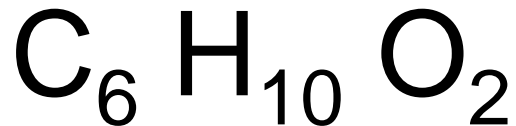
166.4 S  
130.5 D  
128.6 T  
66.1 T  
22.0 T  
10.4 Q



O × 2

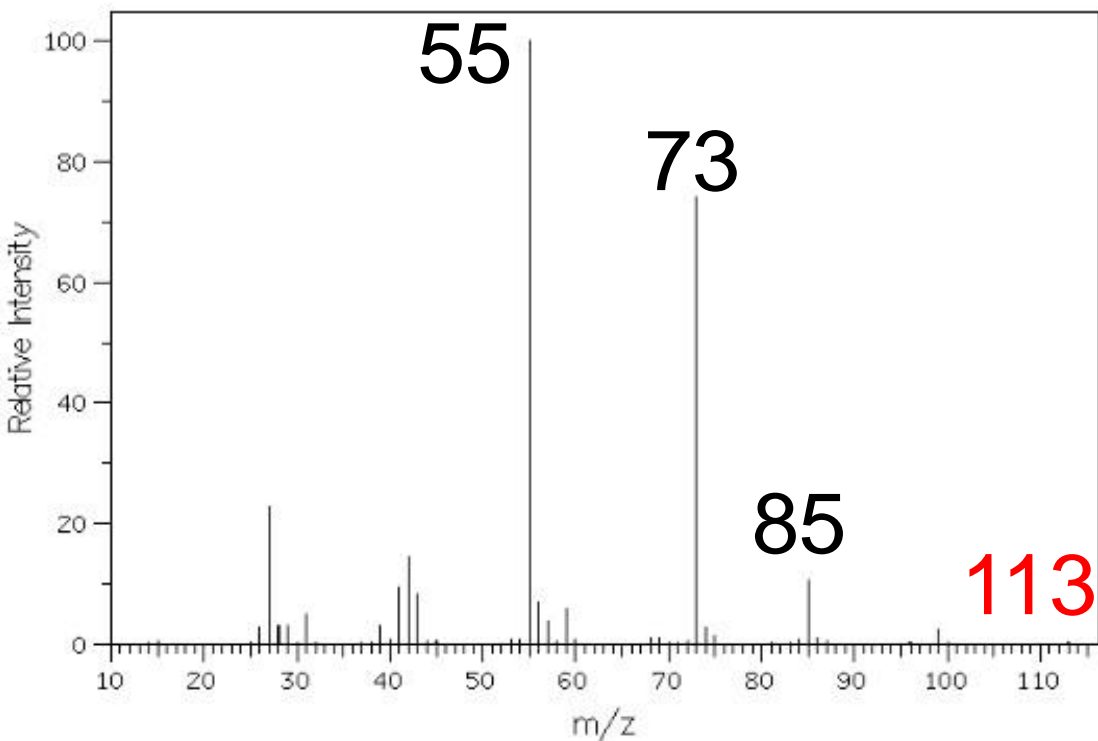
C<sub>6</sub>H<sub>10</sub>O<sub>2</sub>

# 質量、不飽和度を計算する



質量  $12 \times 6 + 1 \times 10 + 16 \times 2 = 114$

不飽和度  $6 - 10/2 + 1 = 2$



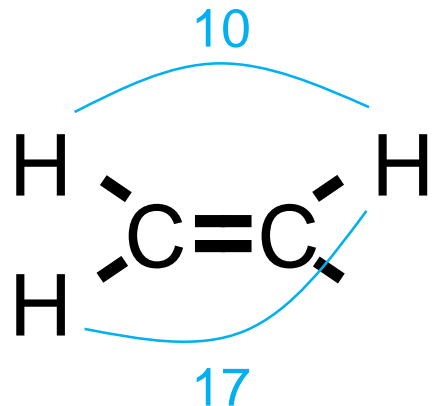
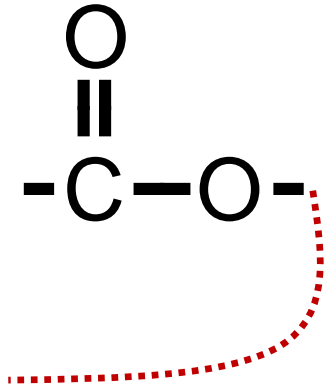
分子イオンピークが  
出ておらず、  
1(水素1個分)少ない  
フラグメントピークが  
出ている

EIはハードなイオン化法

# 不飽和の箇所を予想する

6.40 (1H, dd,  $J=17.4, 1.8$ )  
6.12 (1H, dd,  $J=17.4, 10.4$ )  
5.81 (1H, dd,  $J=10.4, 1.8$ )  
4.11 (2H, t,  $J=6.6$ )  
1.69 (2H, sex like)  
0.96 (3H, t,  $J=7.4$ )

166.4 S  
130.5 D  
128.6 T  
66.1 T  
22.0 T  
10.4 Q



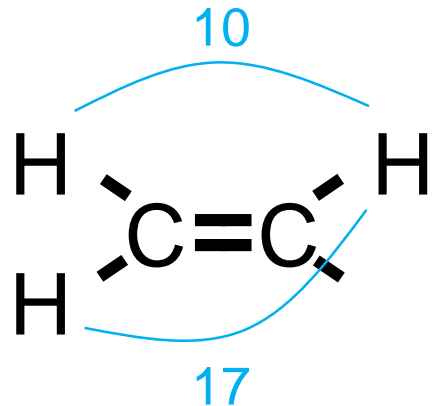
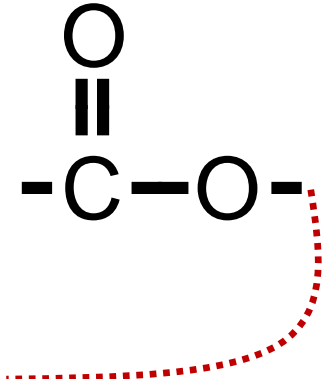
$C_6 H_{10} O_2$

不飽和度 2

# 炭素にアルファベットを振る

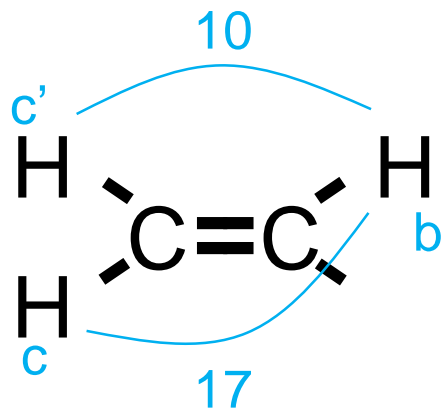
6.40 (1H, dd,  $J=17.4, 1.8$ )  
6.12 (1H, dd,  $J=17.4, 10.4$ )  
5.81 (1H, dd,  $J=10.4, 1.8$ )  
4.11 (2H, t,  $J=6.6$ )  
1.69 (2H, sex like)  
0.96 (3H, t,  $J=7.4$ )

a 166.4 s C  
b 130.5 d CH  
c 128.6 t CH<sub>2</sub>  
d 66.1 t CH<sub>2</sub>  
e 22.0 t CH<sub>2</sub>  
f 10.4 q CH<sub>3</sub>

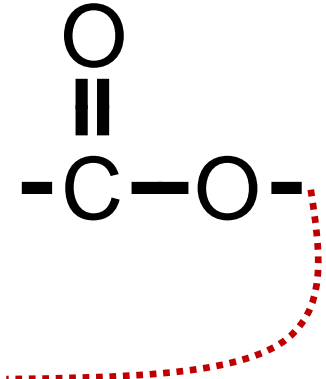


# 水素にアルファベットを振る

**c** 6.40 (1H, dd,  $J=17.4, 1.8$ )  
**b** 6.12 (1H, dd,  $J=17.4, 10.4$ )  
**c'** 5.81 (1H, dd,  $J=10.4, 1.8$ )  
**d** 4.11 (2H, t,  $J=6.6$ )  
**e** 1.69 (2H, sex like)  
**f** 0.96 (3H, t,  $J=7.4$ )



**a** 166.4  $\ddot{\sigma}$  C  
**b** 130.5  $\ddot{\delta}$  CH  
**c** 128.6  $\ddot{\pi}$  CH<sub>2</sub>  
**d** 66.1  $\ddot{\pi}$  CH<sub>2</sub>  
**e** 22.0  $\ddot{\pi}$  CH<sub>2</sub>  
**f** 10.4  $\ddot{\alpha}$  CH<sub>3</sub>

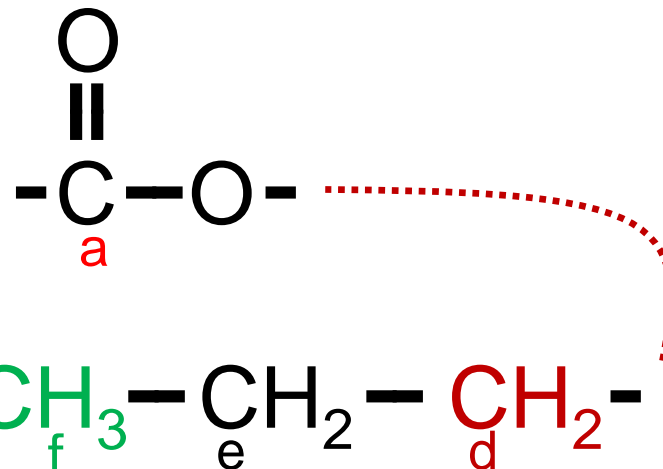
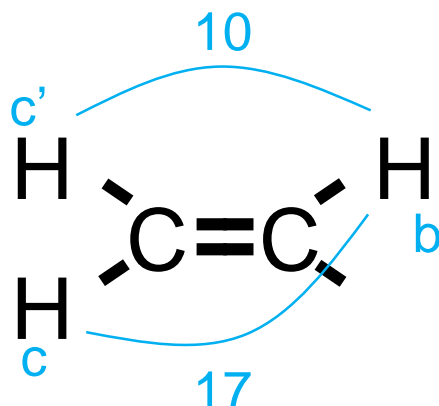


わからないところがあっても  
 全てのピークにアルファベットを振る  
 メモしておけば良い「dとeの水素は逆かも」

# 部分構造を書き出す

**c** 6.40 (1H, dd,  $J=17.4, 1.8$ )  
**b** 6.12 (1H, dd,  $J=17.4, 10.4$ )  
**c'** 5.81 (1H, dd,  $J=10.4, 1.8$ )  
**d** 4.11 (2H, t,  $J=6.6$ )  
**e** 1.69 (2H, sex like)  
**f** 0.96 (3H, t,  $J=7.4$ )

**a** 166.4  $\text{C}=\text{O}$   
**b** 130.5  $\text{CH}$   
**c** 128.6  $\text{CH}_2$   
**d** 66.1  $\text{CH}_2$   
**e** 22.0  $\text{CH}_2$   
**f** 10.4  $\text{CH}_3$

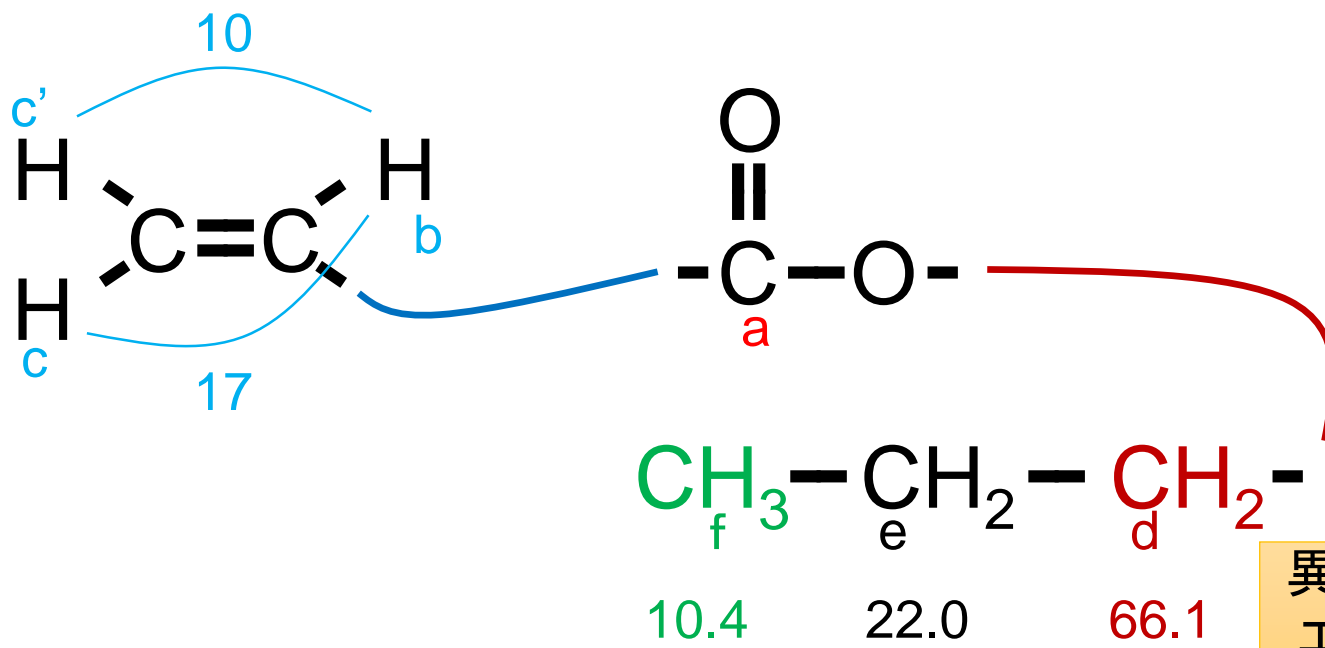


t(三重線)…隣の水素は2個  
 sex(六重線)…隣の水素は5個

# 部分構造をつなげる

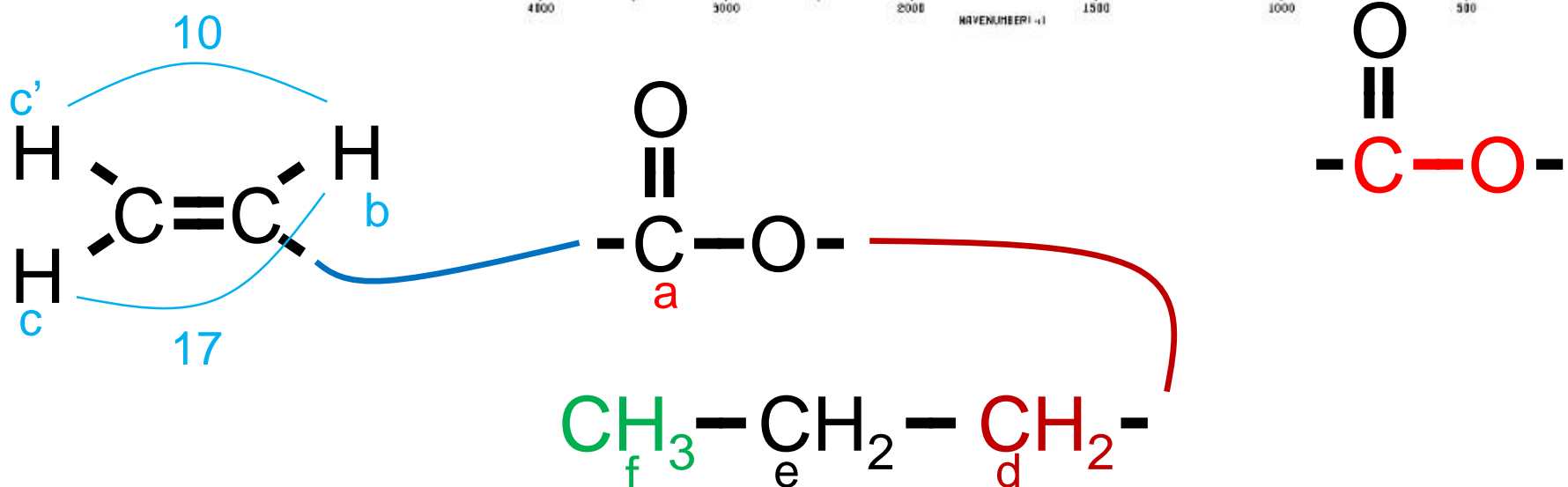
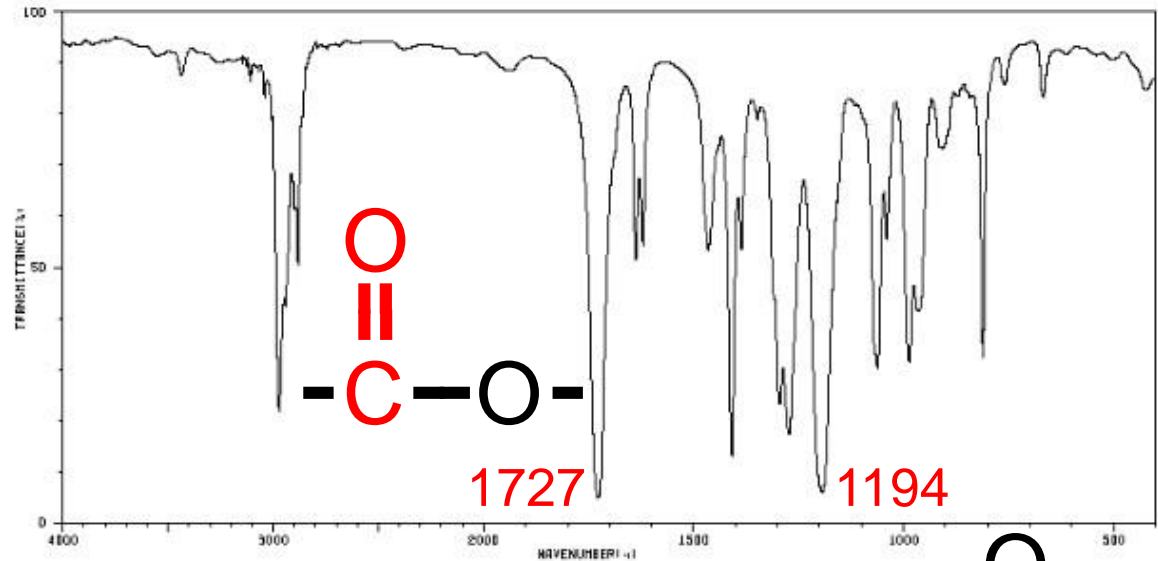
c 6.40 (1H, dd,  $J=17.4, 1.8$ )  
 b 6.12 (1H, dd,  $J=17.4, 10.4$ )  
 c' 5.81 (1H, dd,  $J=10.4, 1.8$ )  
 d 4.11 (2H, t,  $J=6.6$ )  
 e 1.69 (2H, sex like)  
 f 0.96 (3H, t,  $J=7.4$ )

a 166.4  $\text{C}=\text{O}$   
 b 130.5  $\text{CH}$   
 c 128.6  $\text{CH}_2$   
 d 66.1  $\text{CH}_2$   
 e 22.0  $\text{CH}_2$   
 f 10.4  $\text{CH}_3$



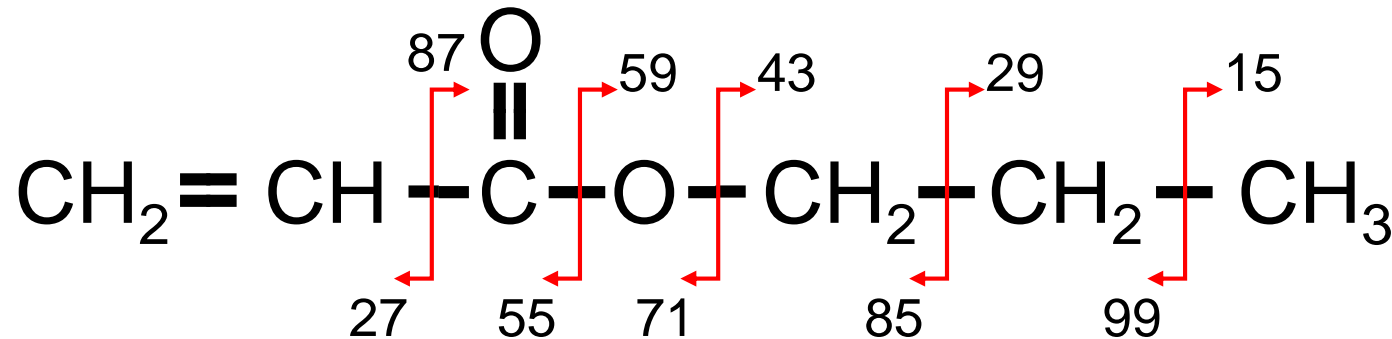
異様にシフトが大きい  
エステルの酸素の隣

# IRの特徴的ピークを確認する

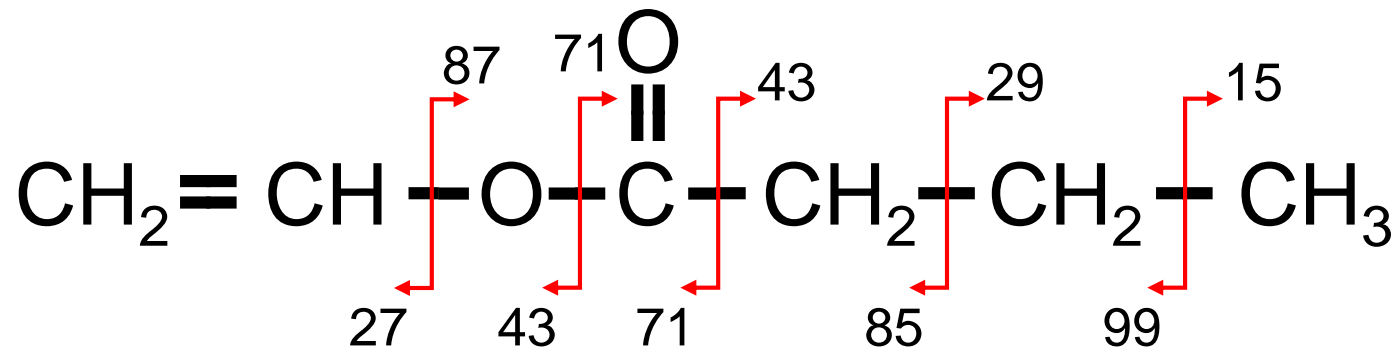


# 候補構造に線引きし断片を予想する

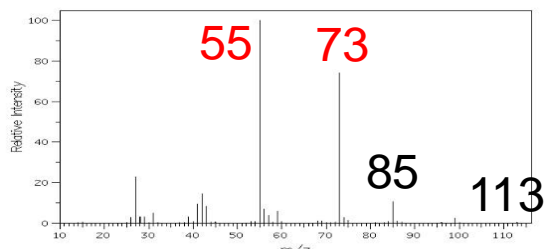
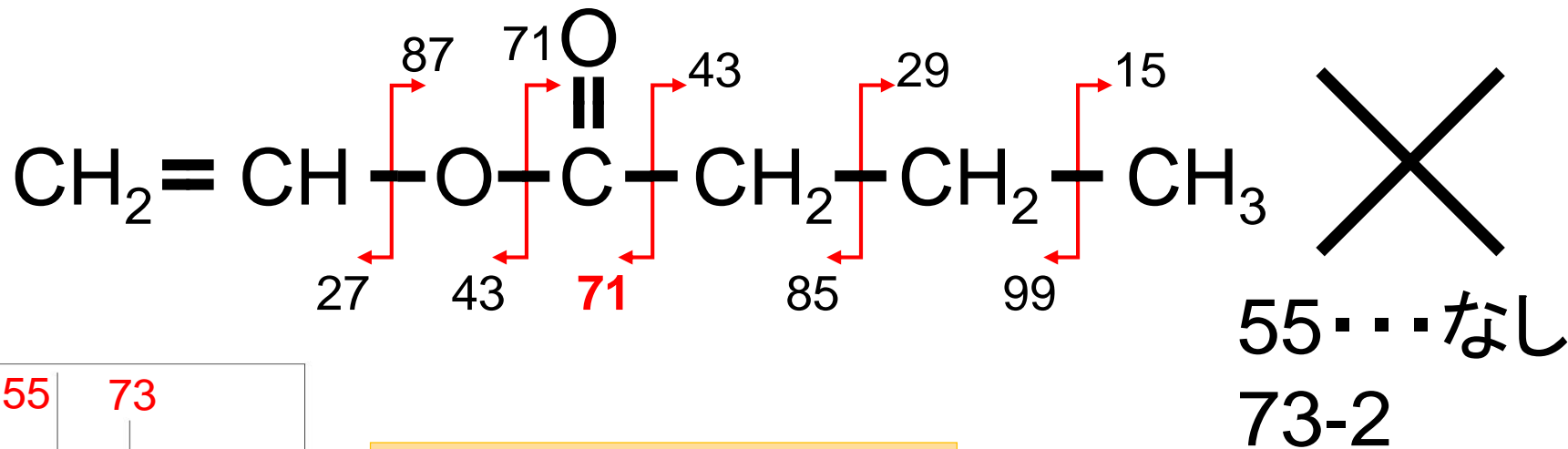
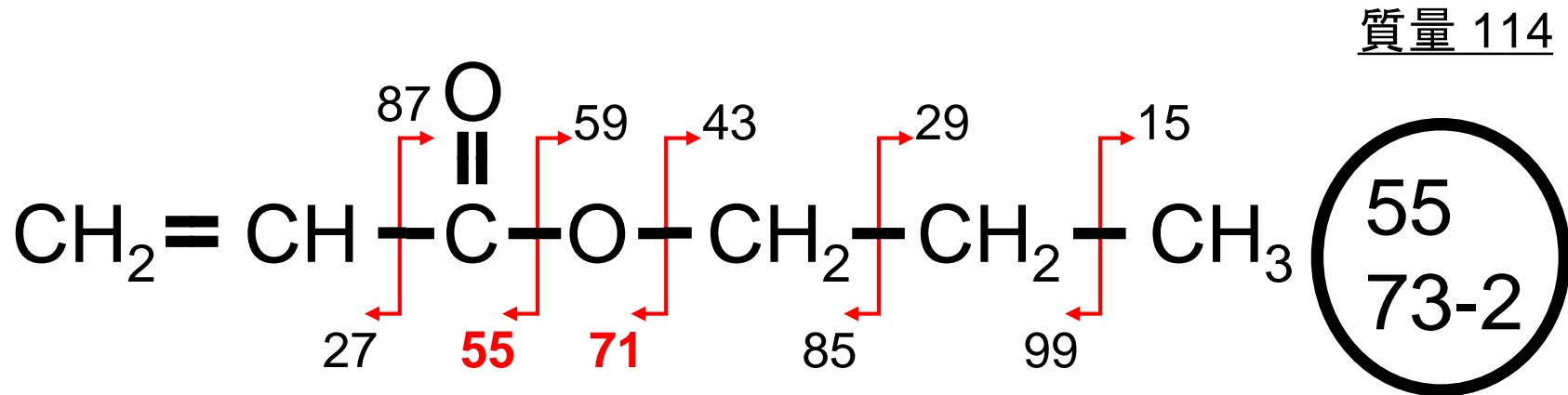
質量 114



部分構造の繋ぎ方に迷った場合

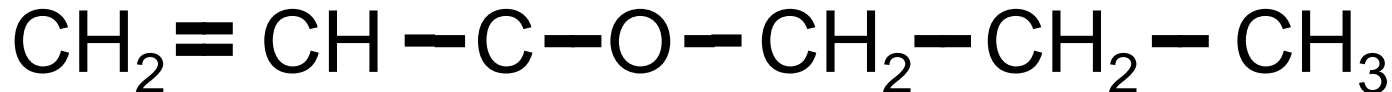
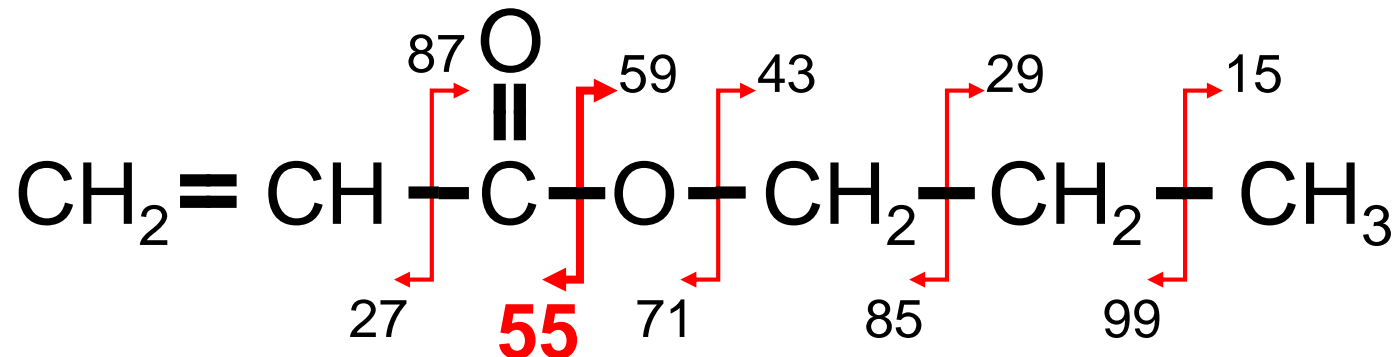


# マススペクトルのフラグメントと照合する

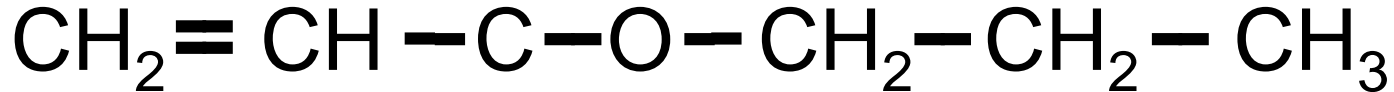
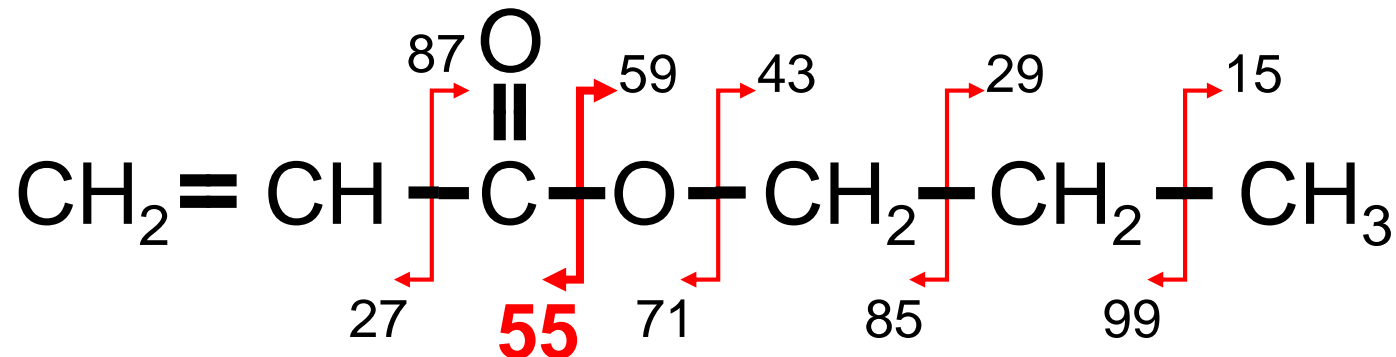


±2 の差は許容

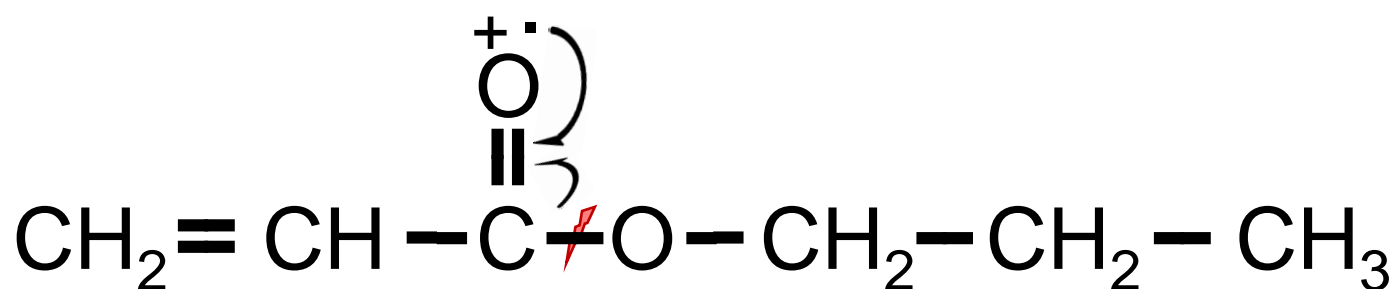
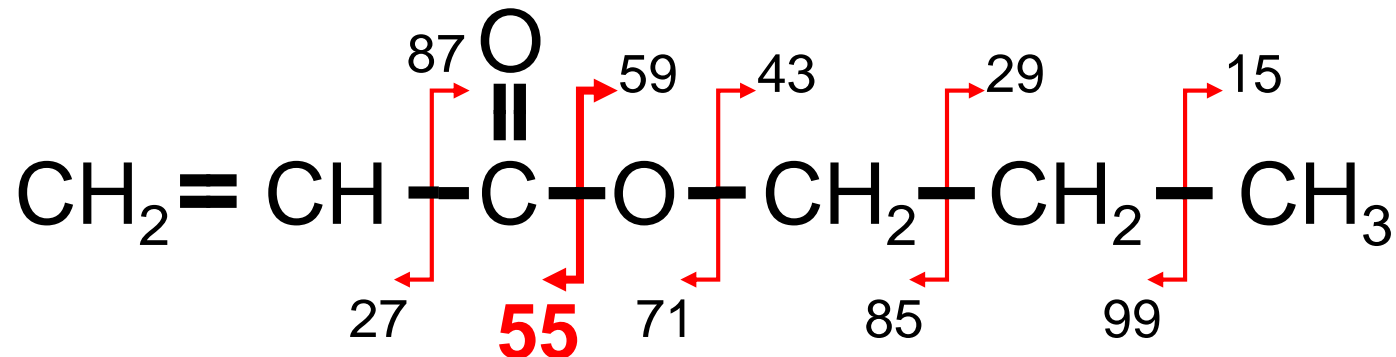
# フラグメント生成機構を予想する(55)



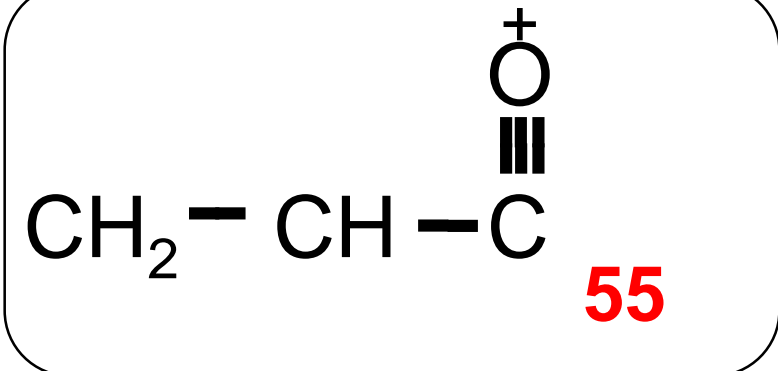
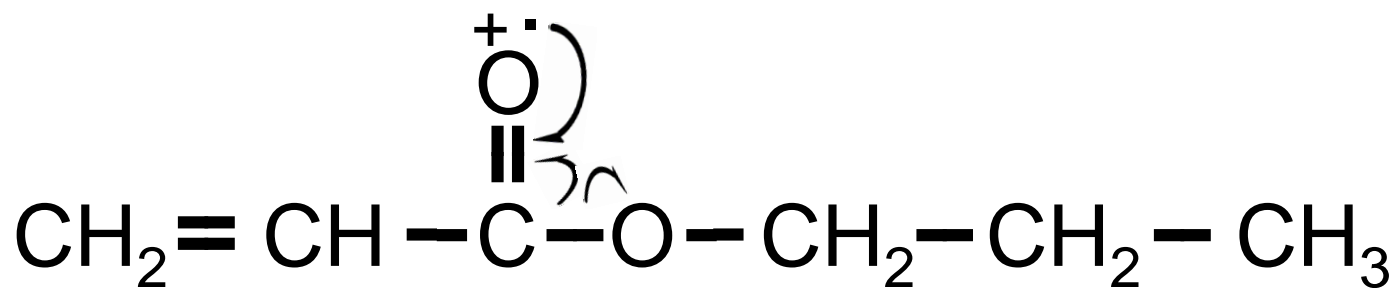
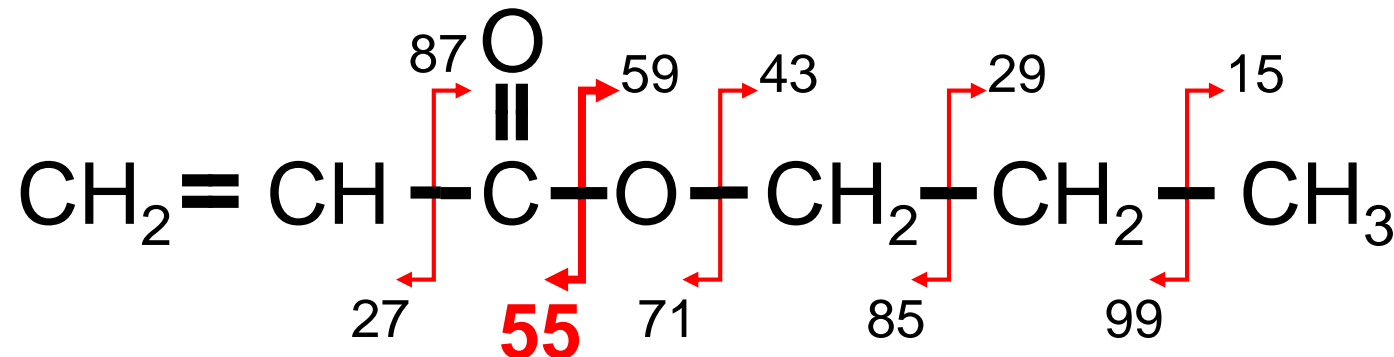
# フラグメント生成機構を予想する(55)



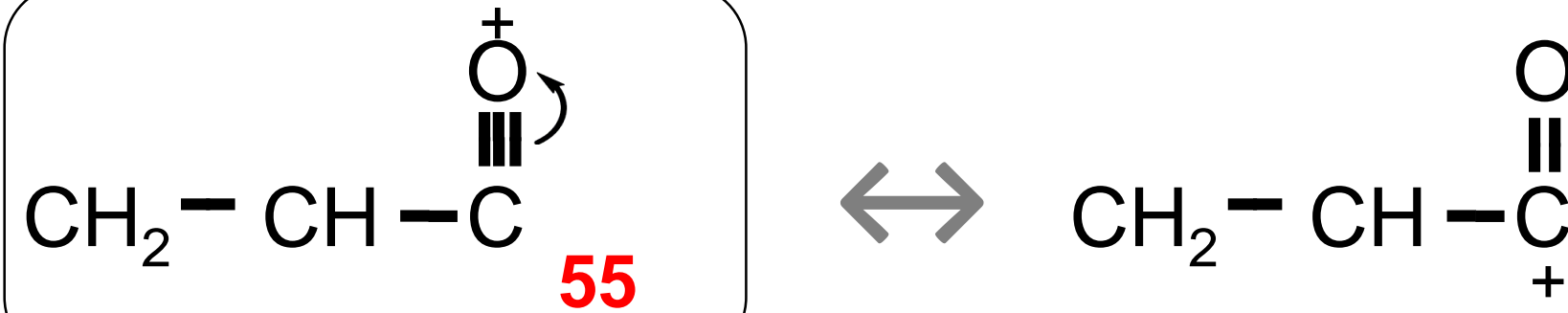
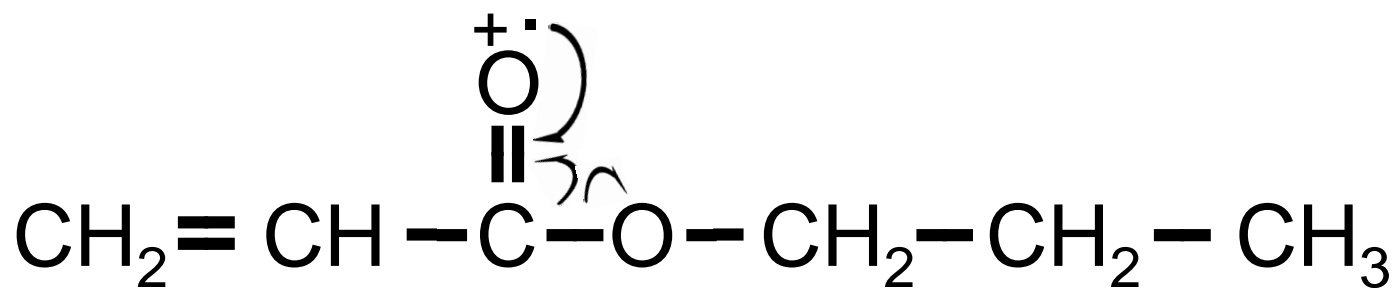
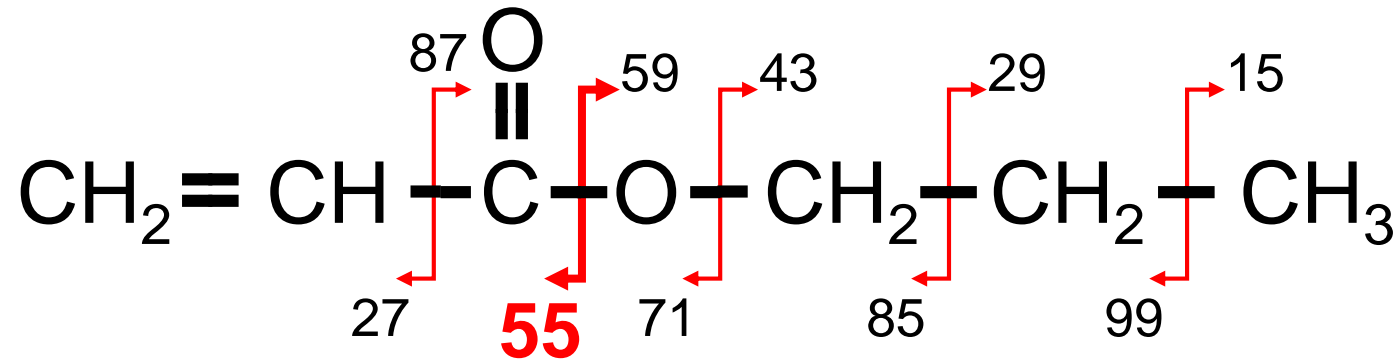
# フラグメント生成機構を予想する(55)



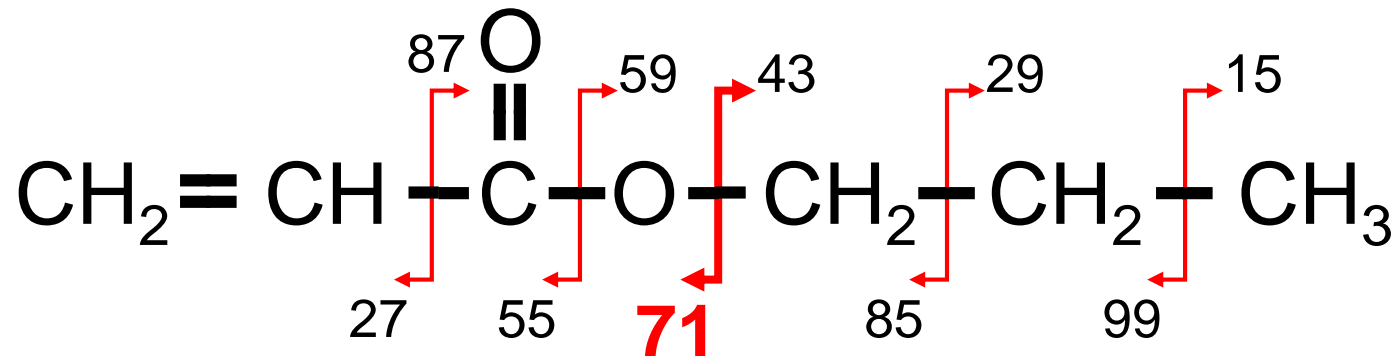
# フラグメント生成機構を予想する(55)



# フラグメント生成機構を予想する(55)



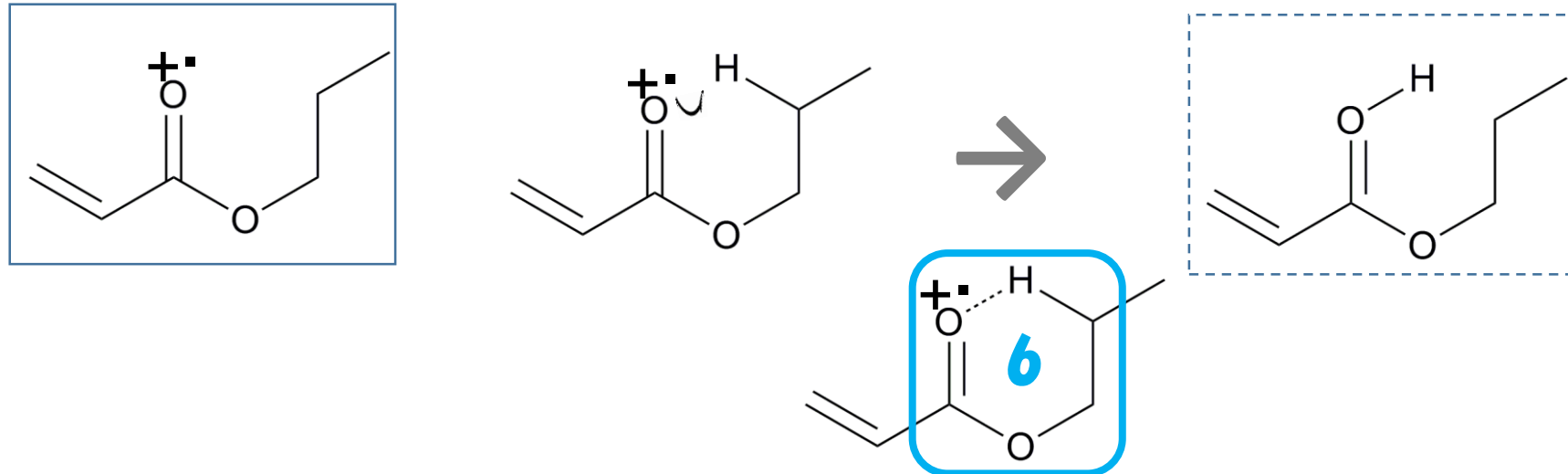
## フラグメント生成機構を予想する(73)



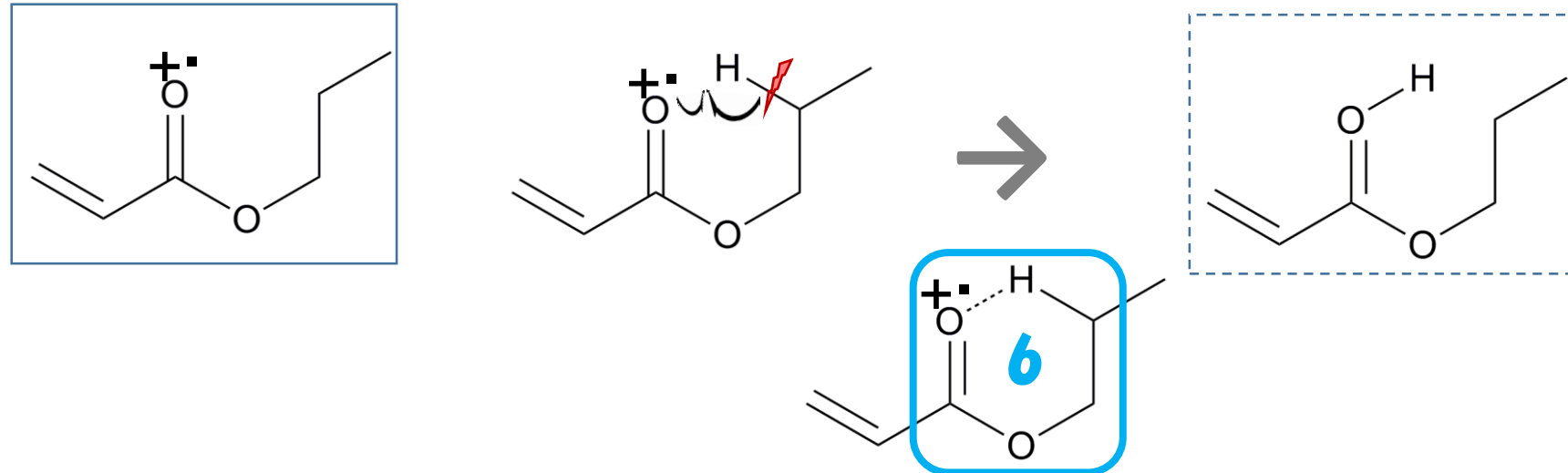
$\pm 2$ の範囲にあるのは71

差が2なので、2回の転移を経ていると予想  
上図の開裂位置の近くでマクラファティー

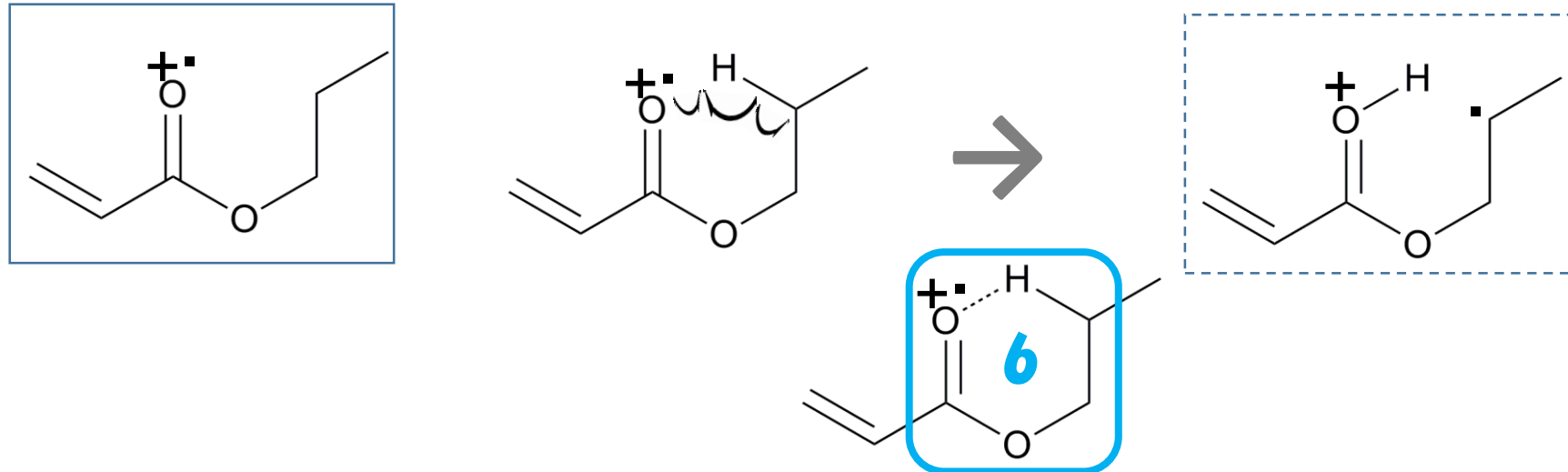
# フラグメント生成機構を予想する(73)



# フラグメント生成機構を予想する(73)

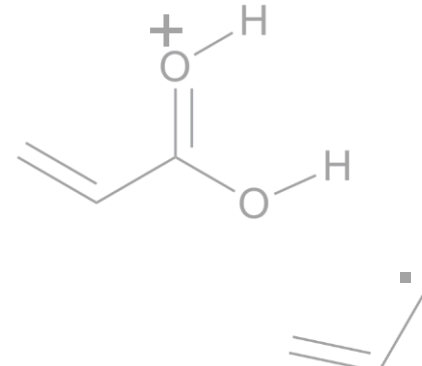
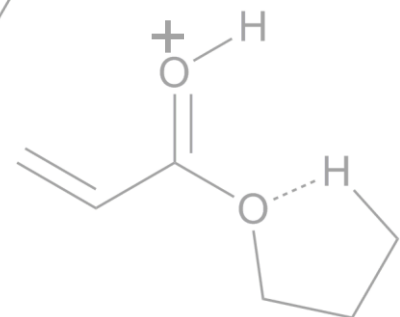
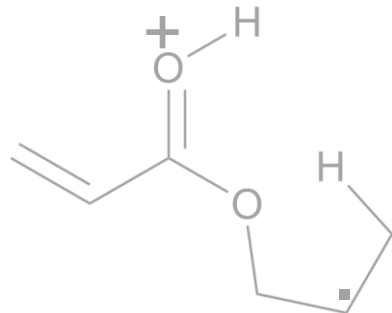
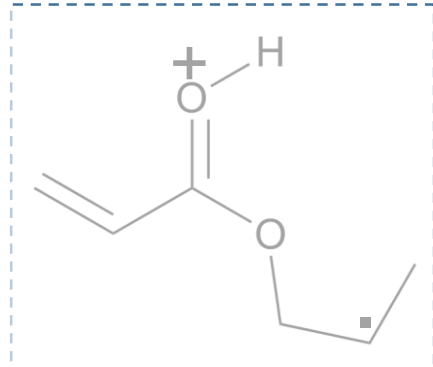
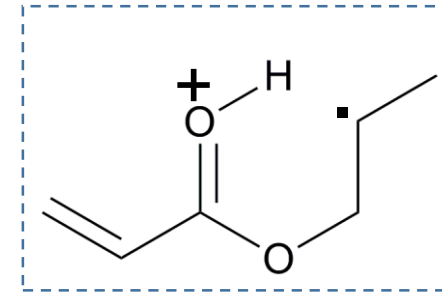
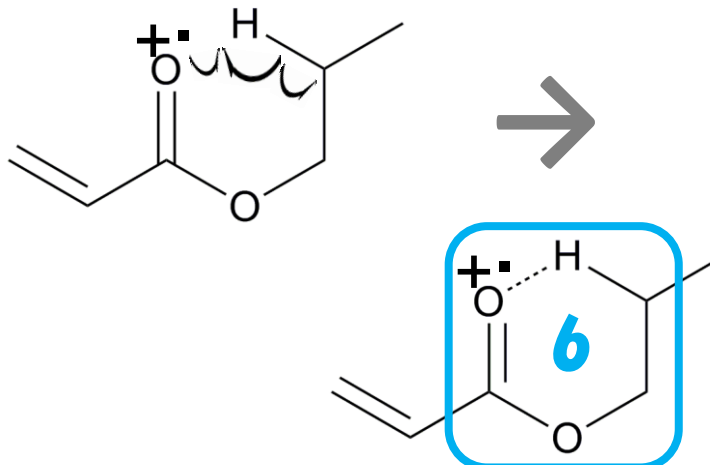
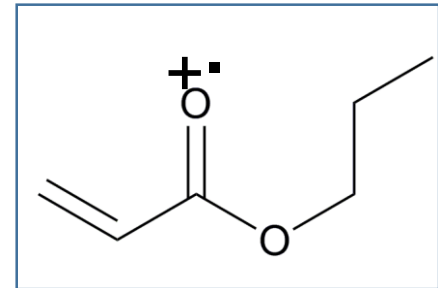


# フラグメント生成機構を予想する(73)

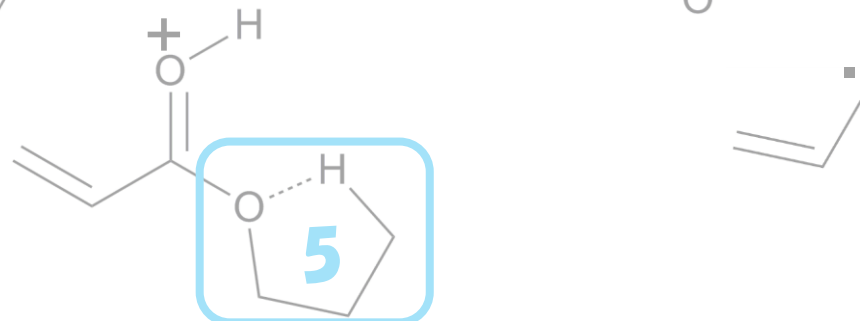
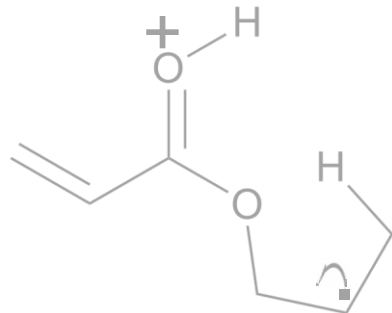
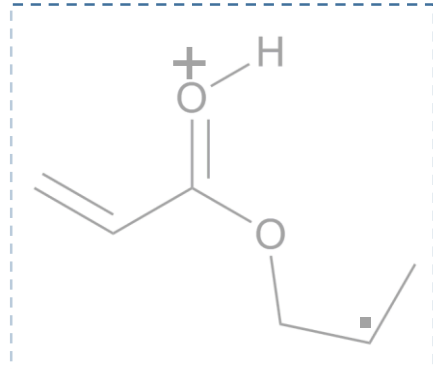
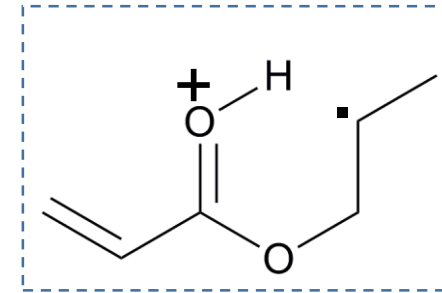
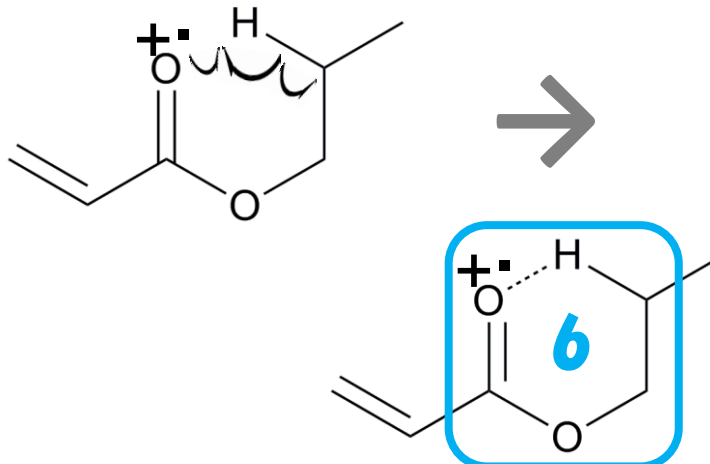
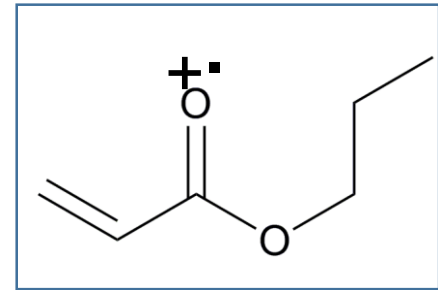


これより先(6ページ分)は特殊なパターン

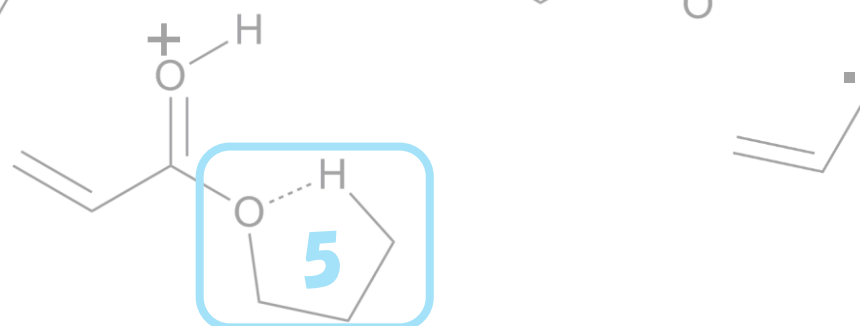
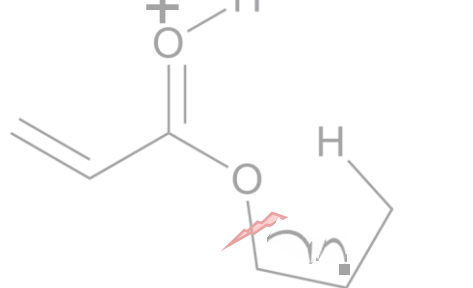
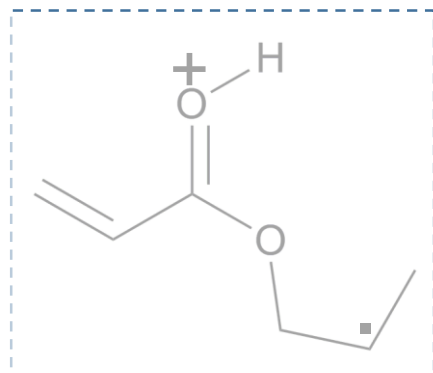
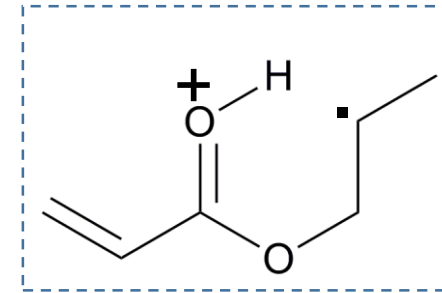
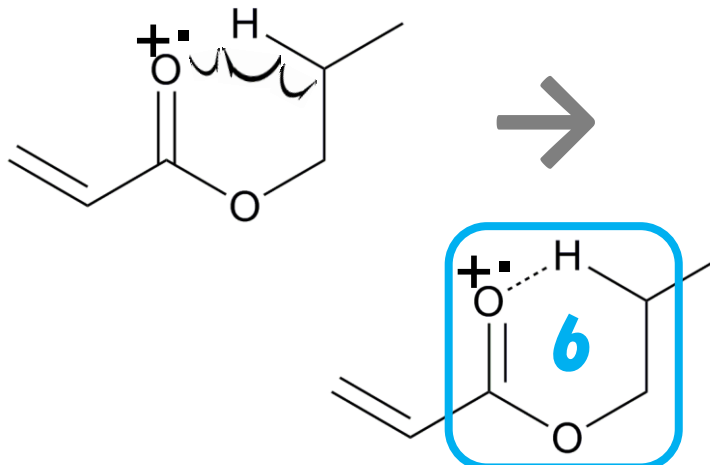
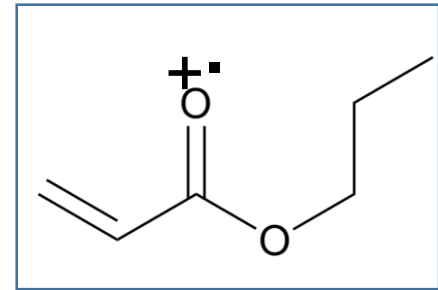
# フラグメント生成機構を予想する(73)



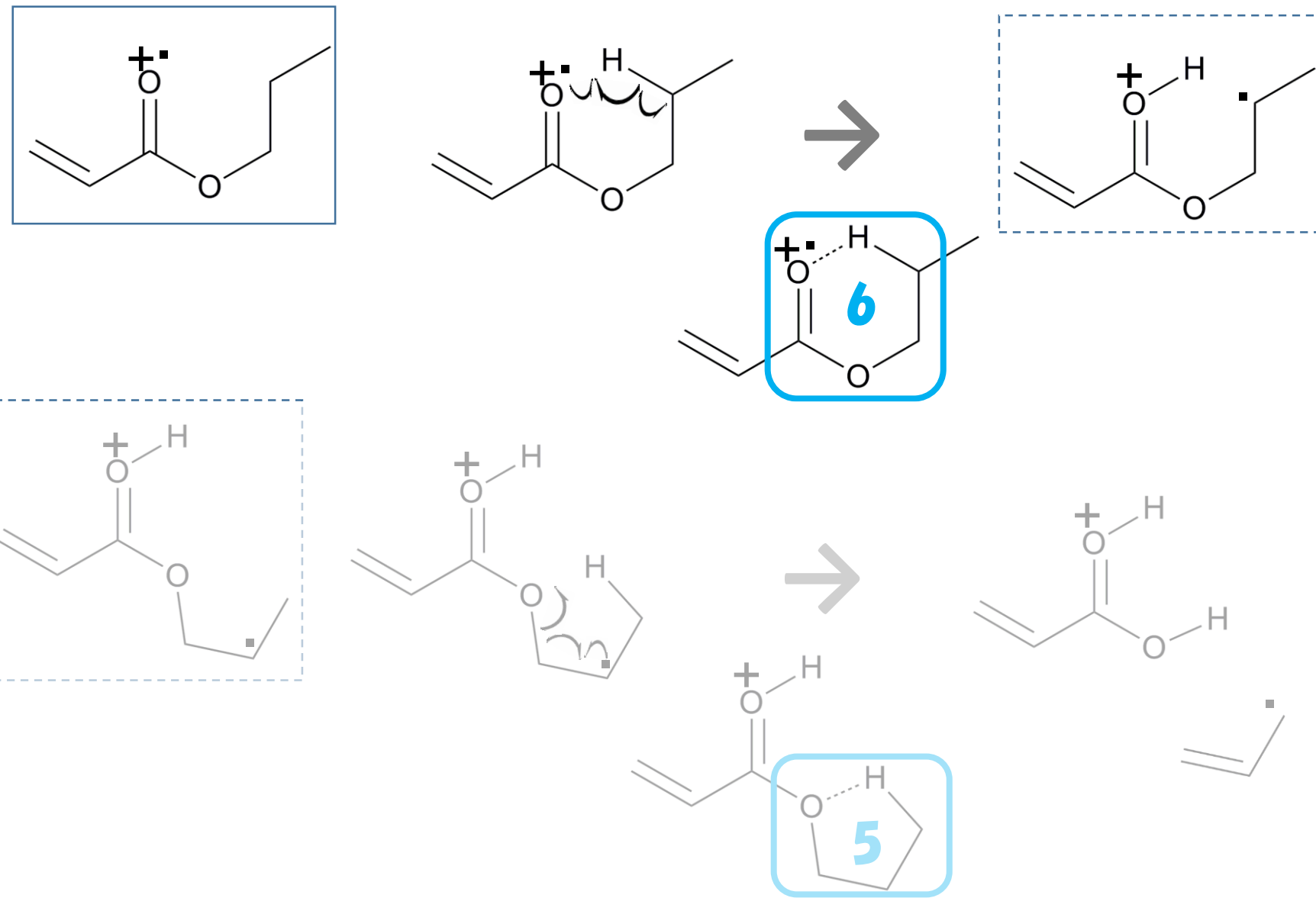
# フラグメント生成機構を予想する(73)



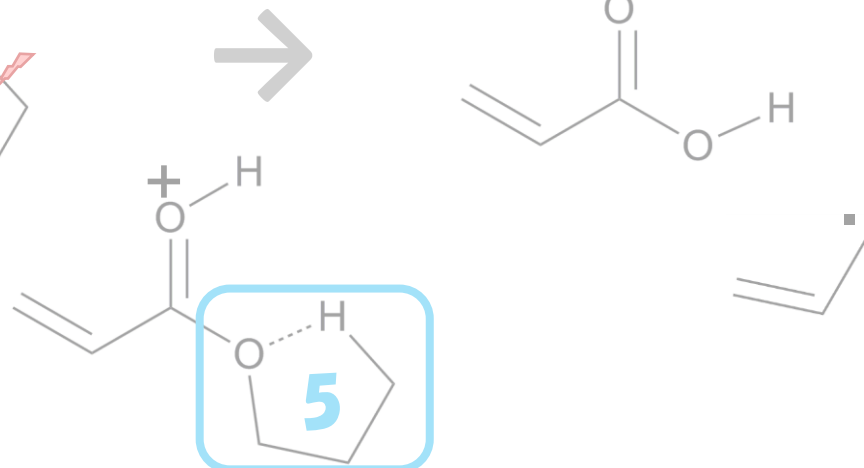
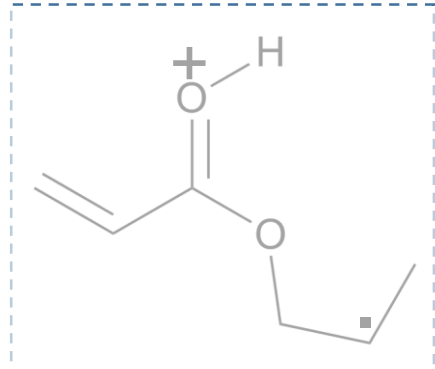
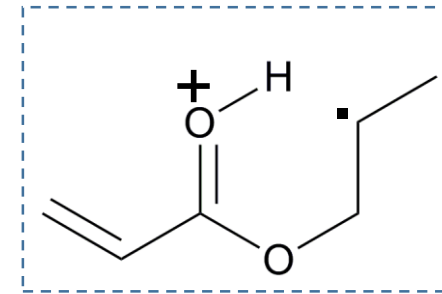
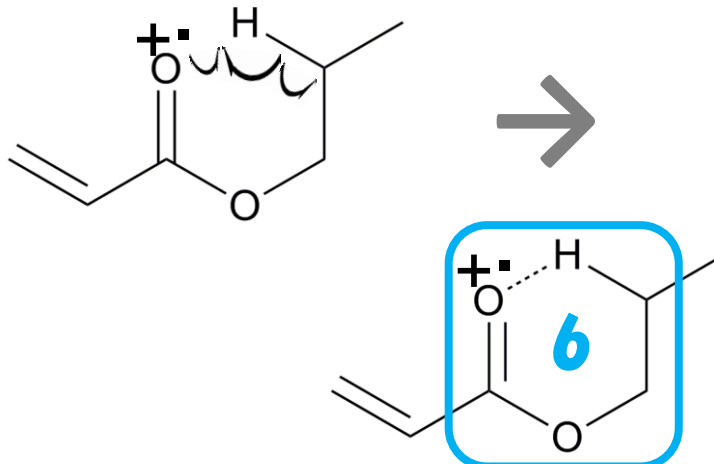
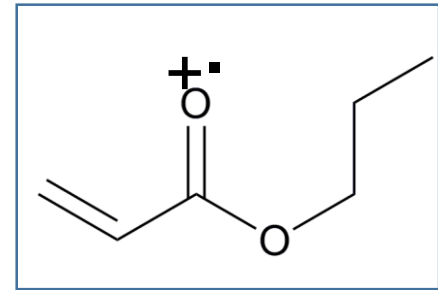
# フラグメント生成機構を予想する(73)



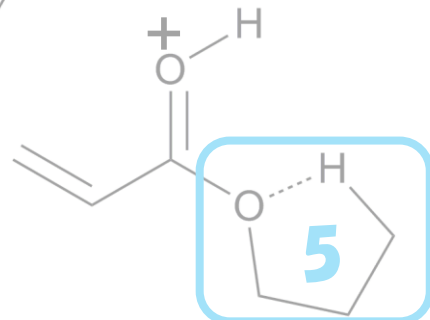
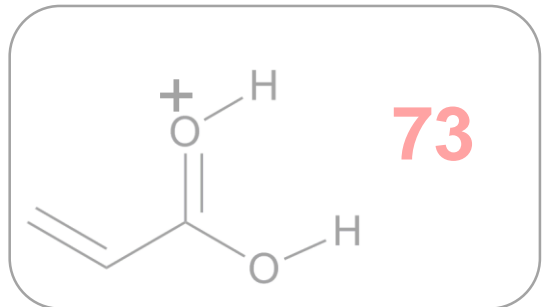
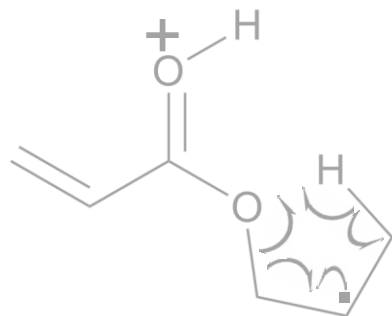
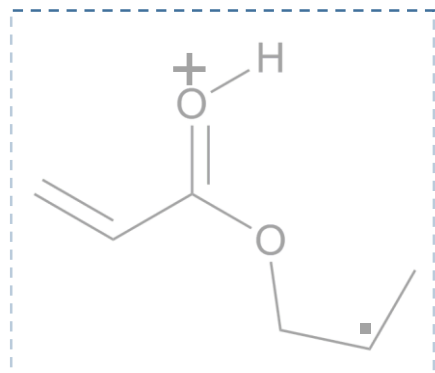
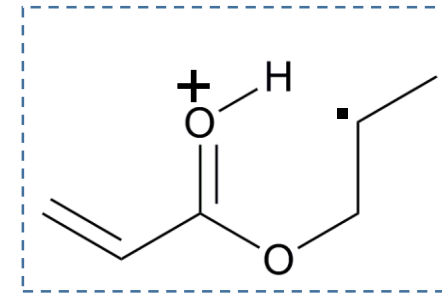
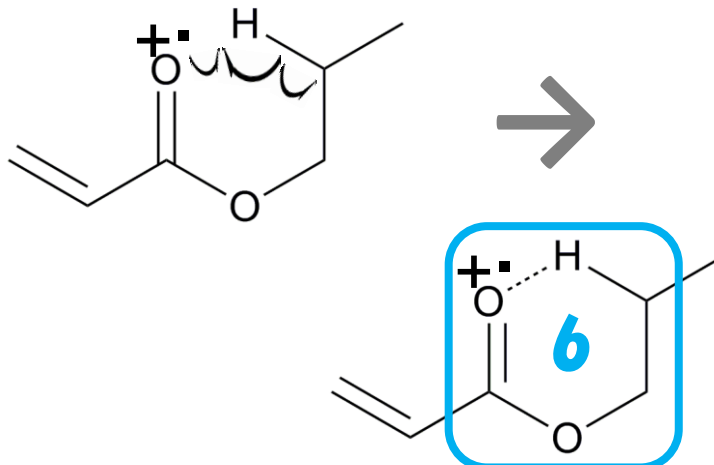
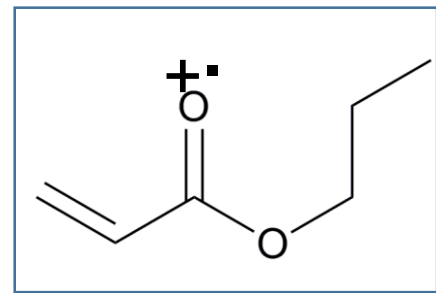
# フラグメント生成機構を予想する(73)



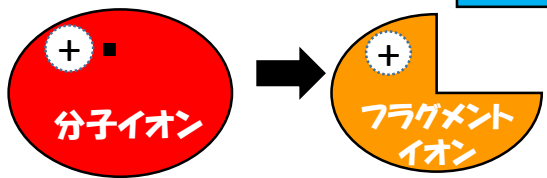
# フラグメント生成機構を予想する(73)



# フラグメント生成機構を予想する(73)



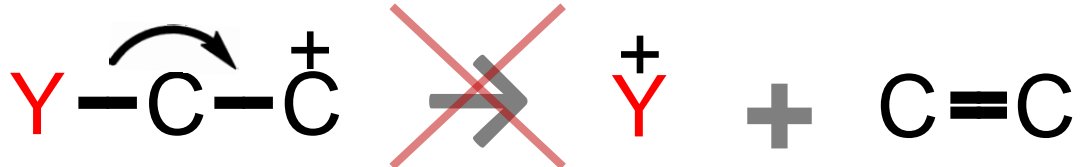
## 結合開裂



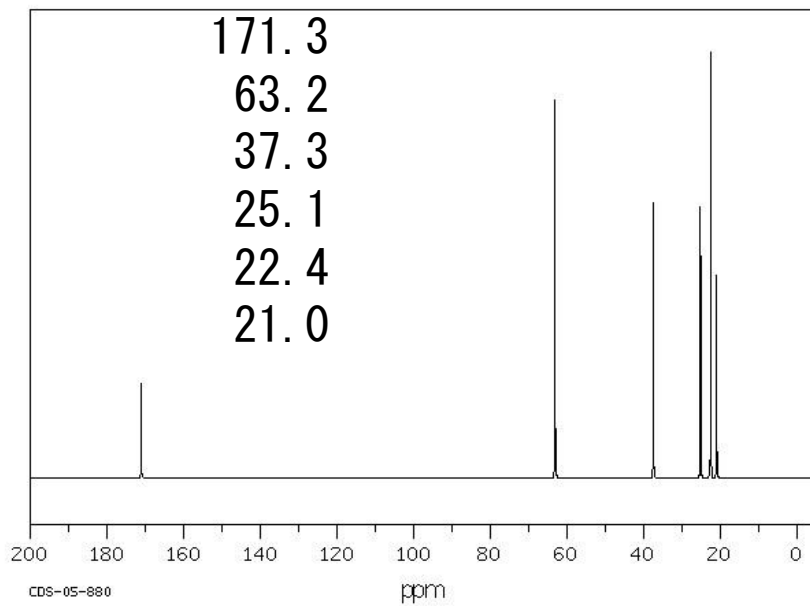
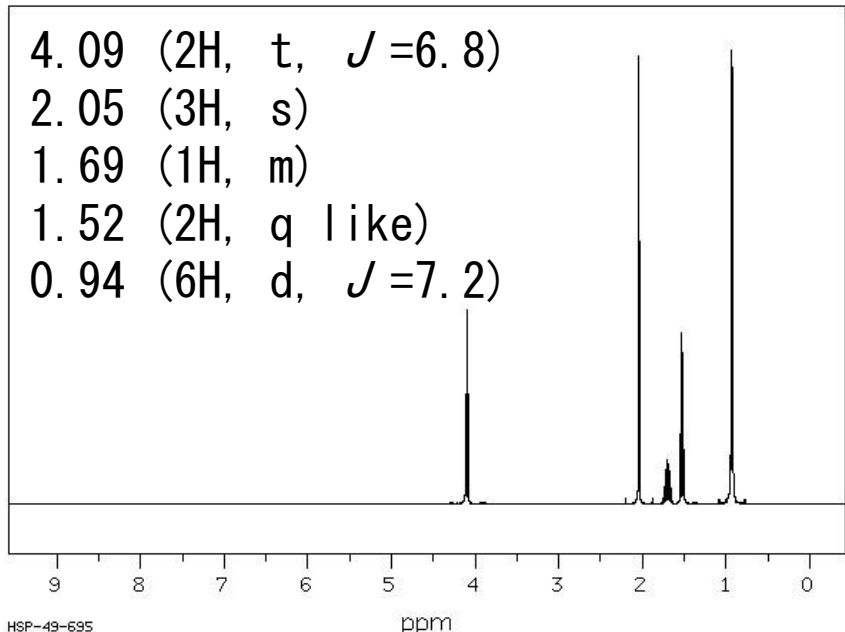
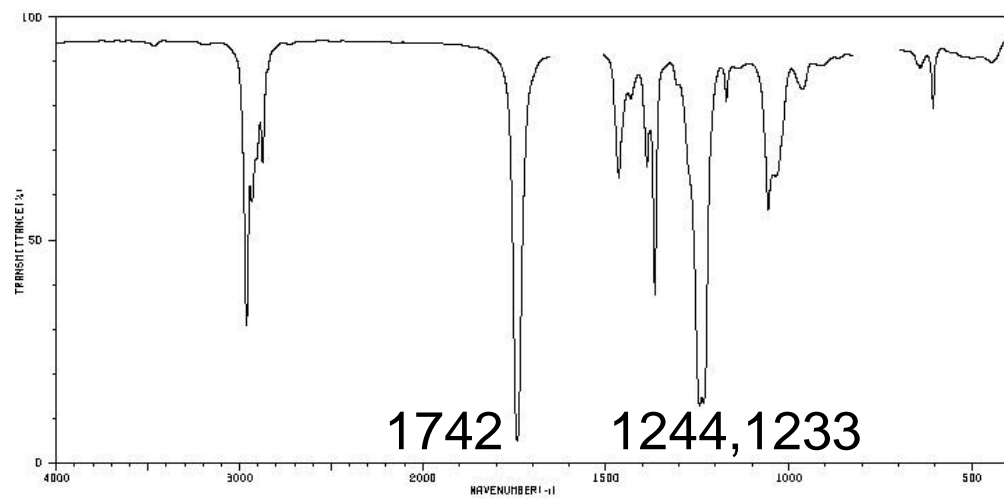
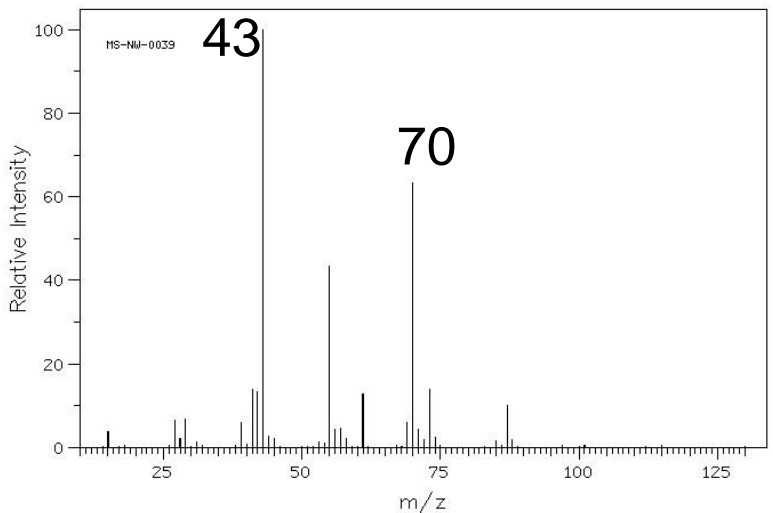
原則は有機化学と同じ  
アリル位は安定



$\text{Y}=\text{O}, \text{N}, \text{X}$   
(C以外)



# 2017年再試験



# 水素、炭素を数える

## $^1\text{H}$ (プロトン)NMRのシフト表

4.09 (2H, t,  $J = 6.8$ )  
2.05 (3H, s)  
1.69 (1H, m)  
1.52 (2H, q like)  
0.94 (**6H**, d,  $J = 7.2$ )

## $^{13}\text{C}$ (カーボン)NMRのシフト表

171.3  
63.2  
37.3  
25.1  
22.4  
21.0

$$2+3+1+2+6=14$$



$$1+1+1+1+1+\textcolor{blue}{1}=6$$

通常は1個ずつと考える  
プロトンに**6H**がある  
 $\text{CH}_6$ はありえないの  
 $\text{CH}_3 \times 2$   
等価なメチル2つ分  
炭素もどれかが2つ分

# 酸素数を予想する

4.09 (2H, t,  $J = 6.8$ )

171.3

2.05 (3H, s)

63.2

1.69 (1H, m)

37.3

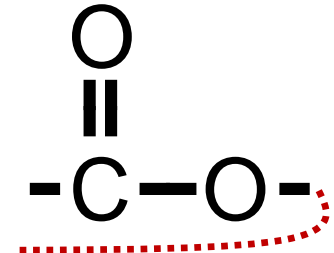
1.52 (2H, q like)

25.1

0.94 (6H, d,  $J = 7.2$ )

22.4

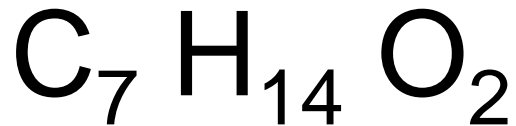
21.0



O × 2

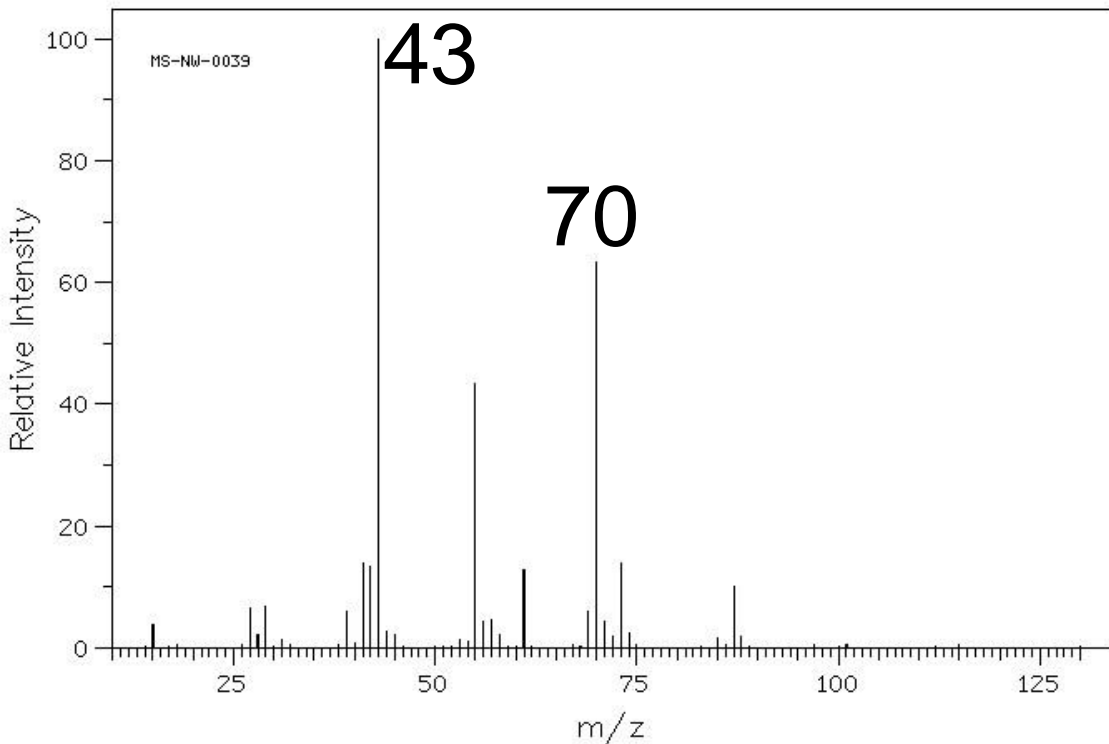
C<sub>7</sub> H<sub>14</sub> O<sub>2</sub>

# 質量、不飽和度を計算する



質量  $12 \times 7 + 1 \times 14 + 16 \times 2 = 130$

不飽和度  $7 - 14/2 + 1 = 1$



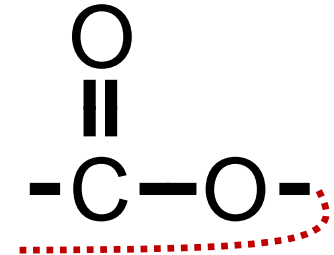
分子イオンピークが  
出ておらず、  
130に近い数字も無い

質量の確認はできない

EIはハードなイオン化法

# 不飽和の箇所を予想する

4.09 (2H, t, $J = 6.8$ )	171.3
2.05 (3H, s)	63.2
1.69 (1H, m)	37.3
1.52 (2H, q like)	25.1
0.94 (6H, d, $J = 7.2$ )	22.4
	21.0



C<sub>7</sub> H<sub>14</sub> O<sub>2</sub>

不飽和度 1

# 水素にアルファベットを振る

a 4.09 (2H, t,  $J = 6.8$ )

171.3

b 2.05 (3H, s)

63.2

c 1.69 (1H, m)

37.3

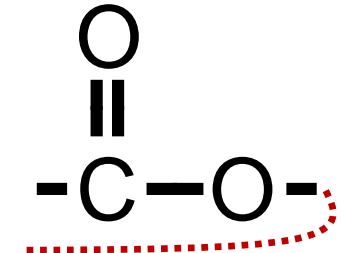
d 1.52 (2H, q like)

25.1

e 0.94 (6H, d,  $J = 7.2$ )

22.4

21.0



通常は炭素にアルファベットを振る

今回はカーボンに級数を示す記号( S,D,T,Q )が付されておらず水素とのペアリングが難しい

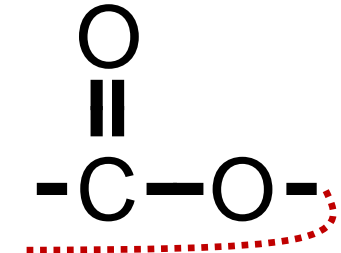


水素を先に考える

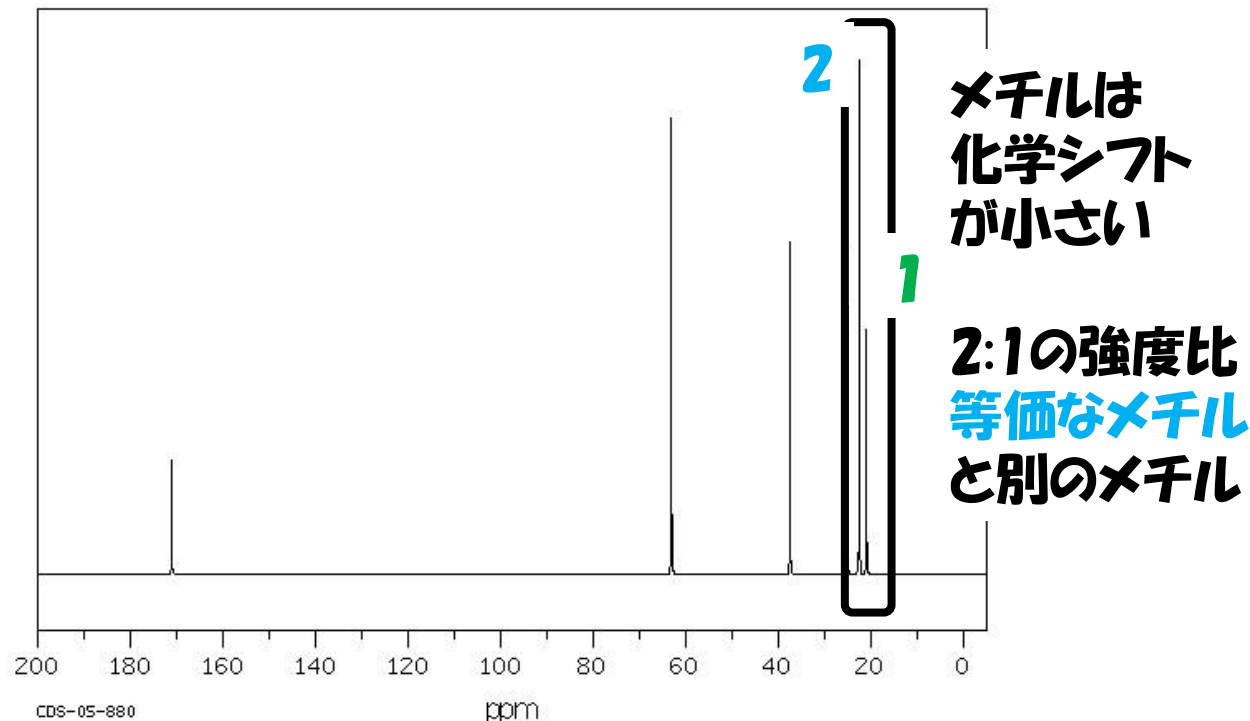
# 炭素にアルファベットを振る

- a 4.09 (2H, t,  $J = 6.8$ )
- b 2.05 (3H, s)
- c 1.69 (1H, m)
- d 1.52 (2H, q like)
- e 0.94 (6H, d,  $J = 7.2$ )

- x 171.3
- a 63.2
- c 37.3
- d 25.1
- e 22.4
- f 21.0



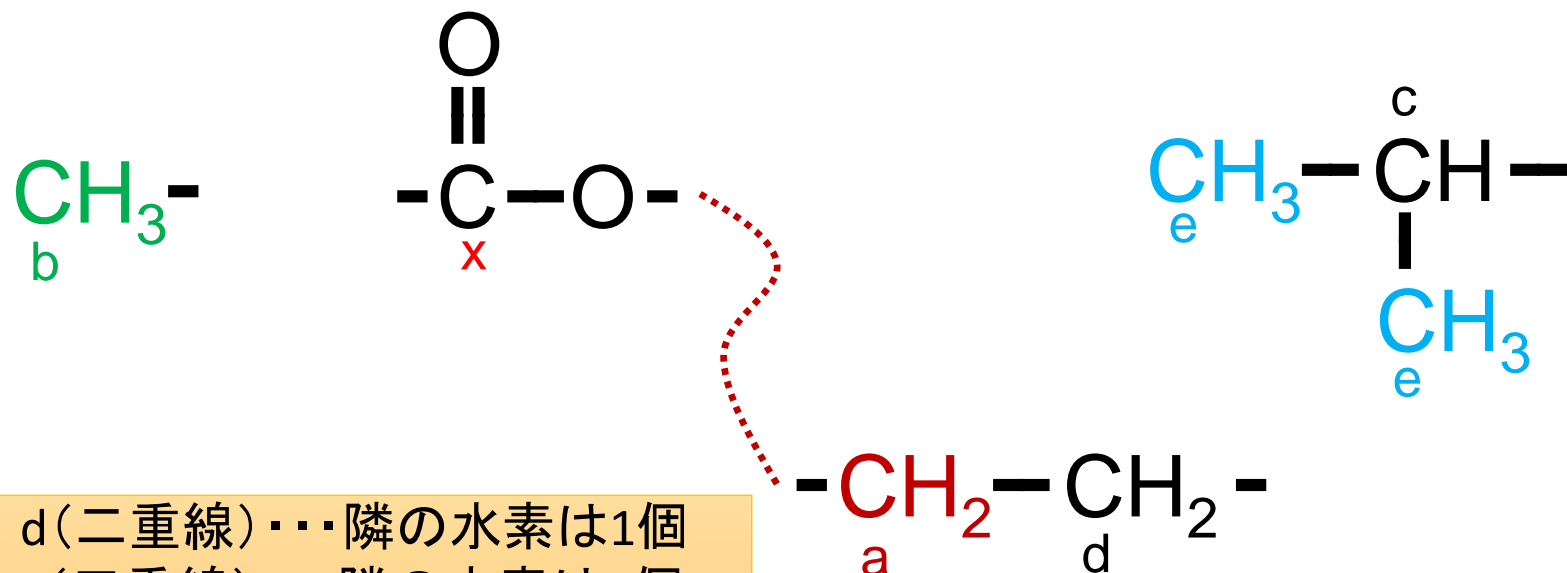
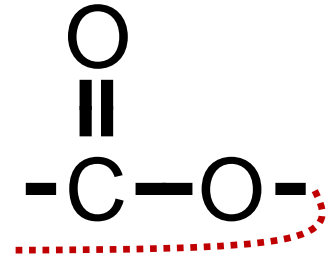
残った c と d  
の割り当ては  
根拠なし  
「c と d の炭素は逆かも」



# 部分構造を書き出す

- a 4.09 (2H, t,  $J = 6.8$ )
- b 2.05 (3H, s)
- c 1.69 (1H, m)
- d 1.52 (2H, q like)
- e 0.94 (6H, d,  $J = 7.2$ )

- x 171.3
- a 63.2
- c 37.3
- d 25.1
- e 22.4
- f 21.0

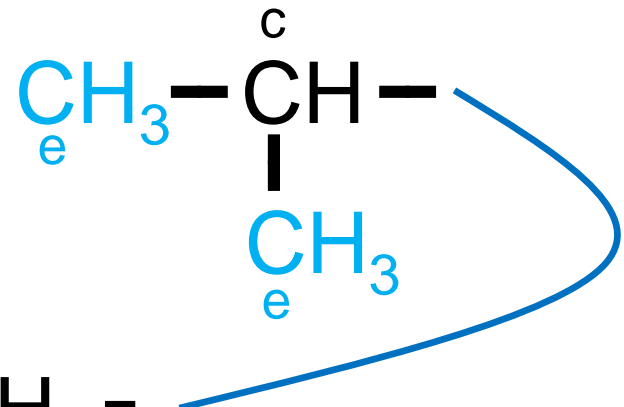
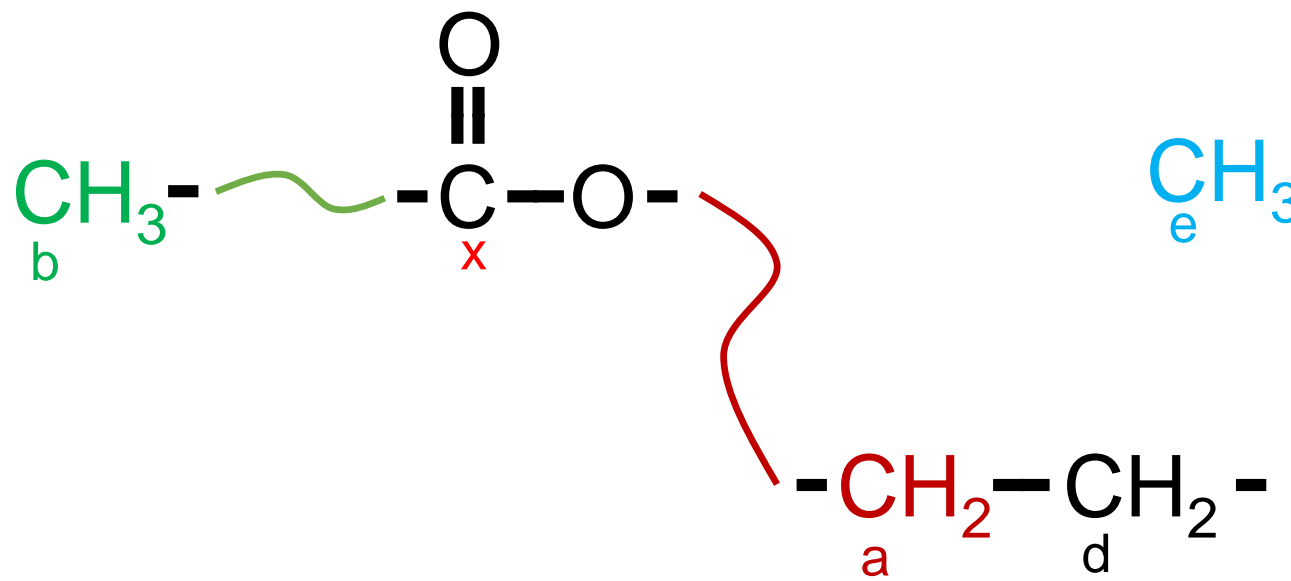


d(二重線) … 隣の水素は1個  
 t(三重線) … 隣の水素は2個  
 q(四重線) … 隣の水素は3個

# 部分構造をつなげる

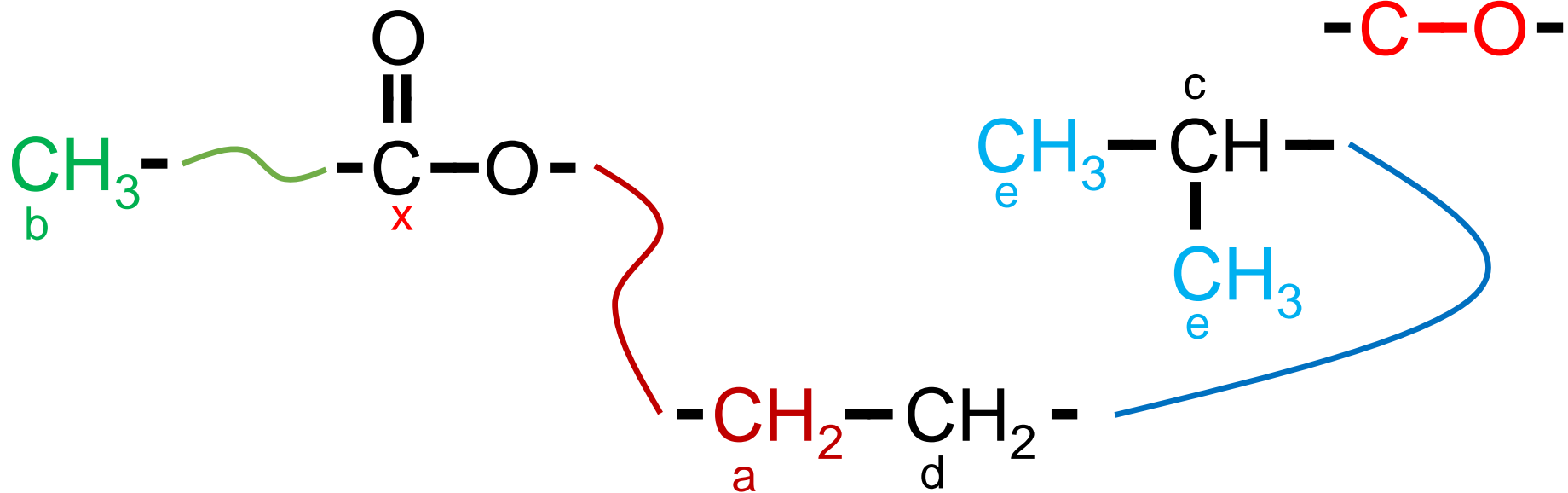
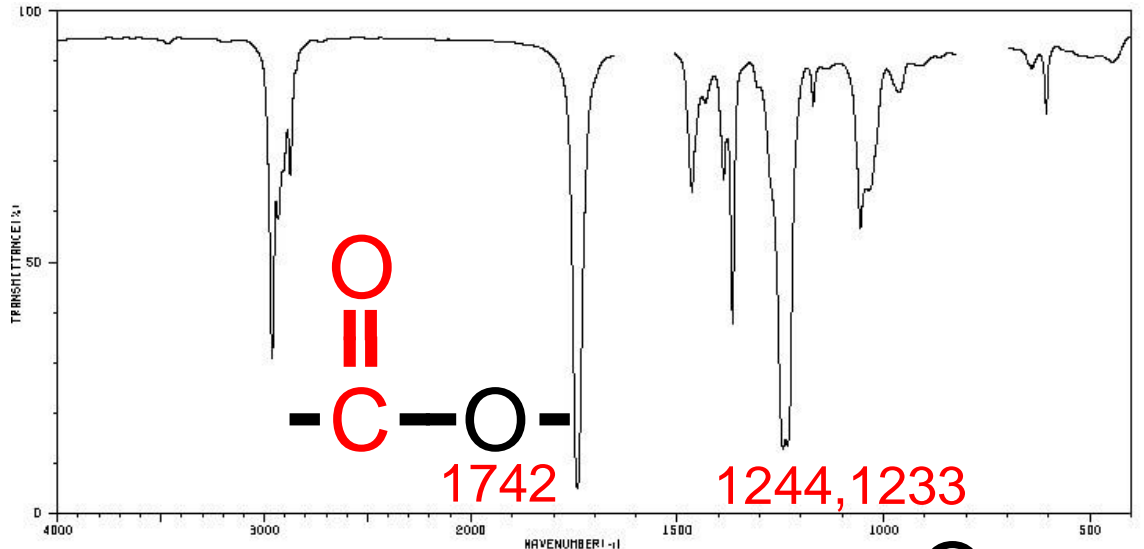
a 4.09 (2H, t,  $J = 6.8$ )  
b 2.05 (3H, s)  
c 1.69 (1H, m)  
d 1.52 (2H, q like)  
e 0.94 (6H, d,  $J = 7.2$ )

x 171.3  
a 63.2  
c 37.3  
d 25.1  
e 22.4  
f 21.0



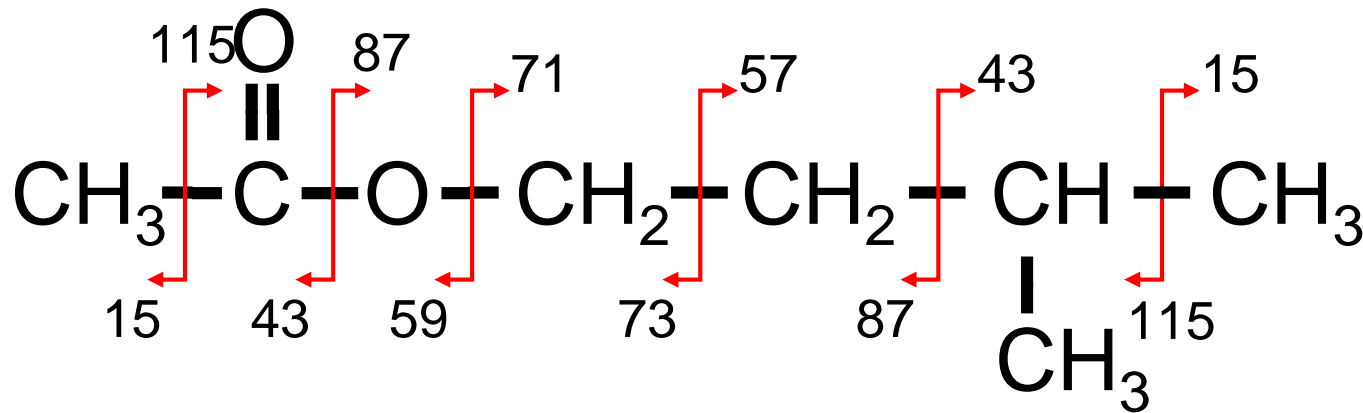
異様にシフトが大きい  
エステルの酸素の隣

# IRの特徴的ピークを確認する

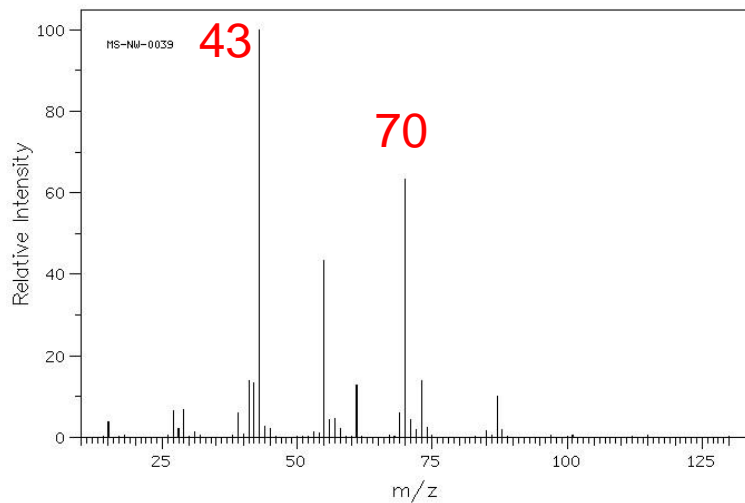
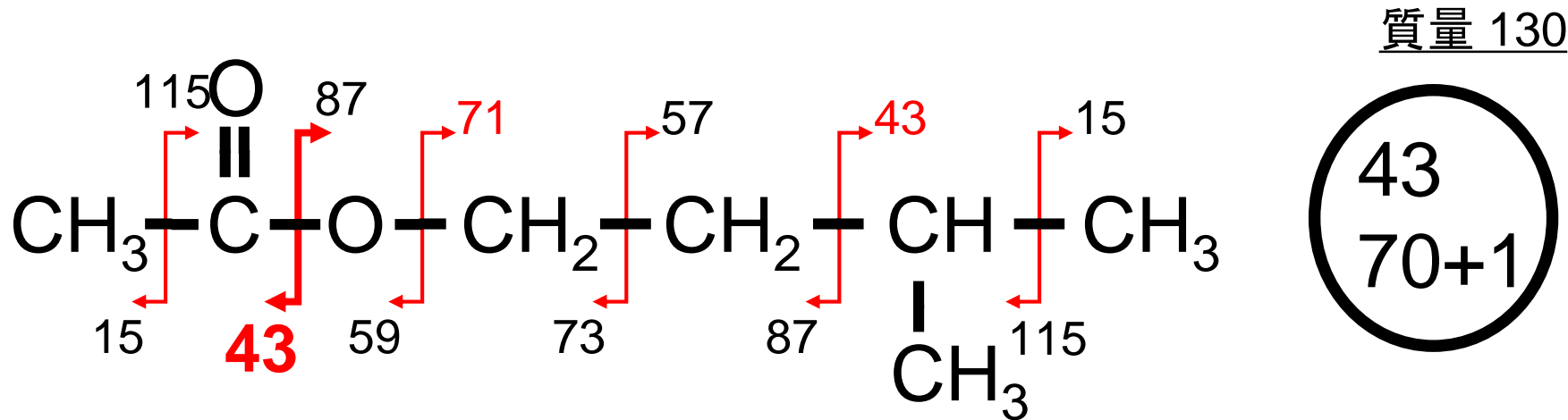


# 候補構造に線引きし断片を予想する

質量 130

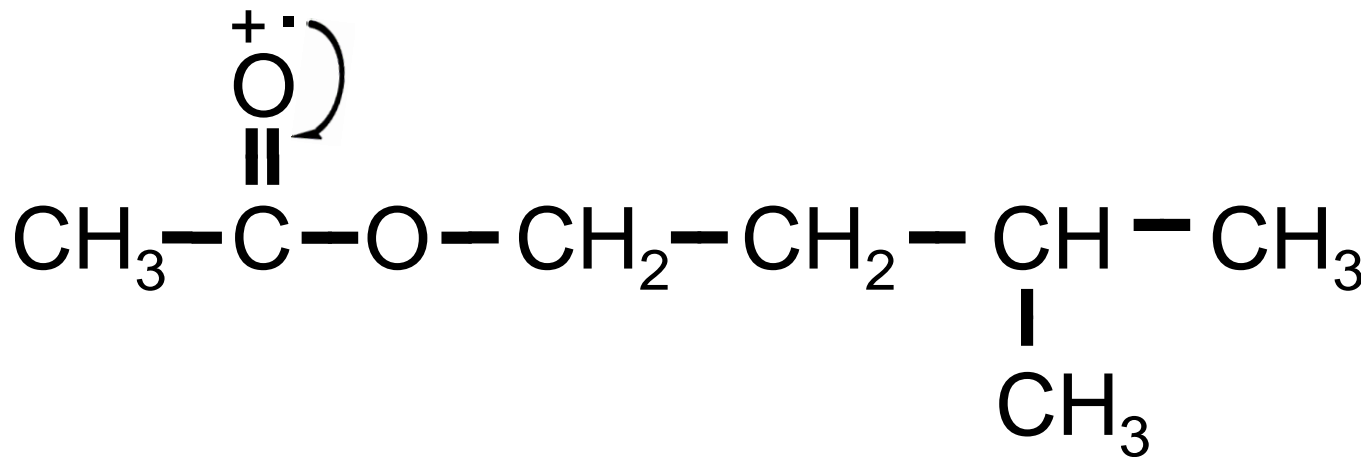
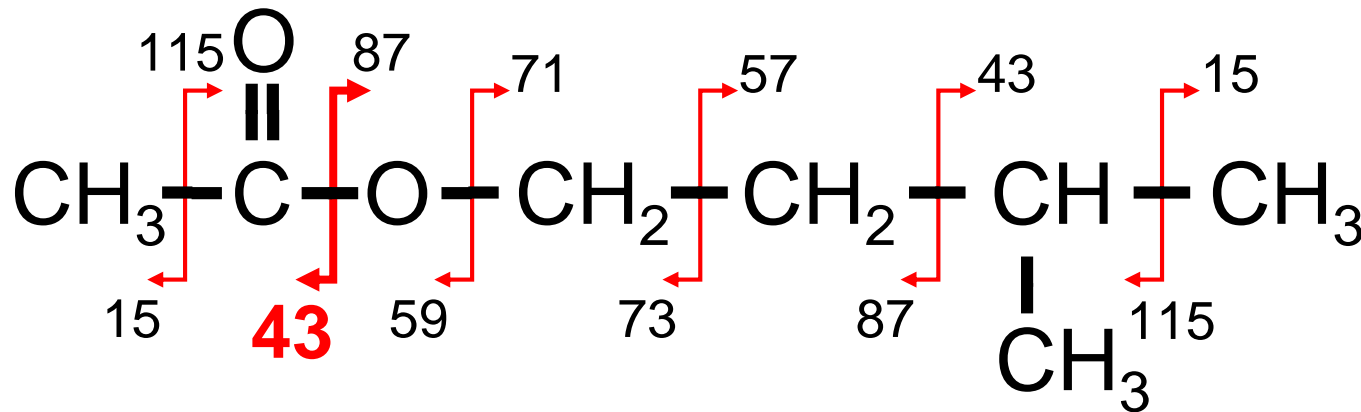


# 候補構造に線引きし断片を予想する

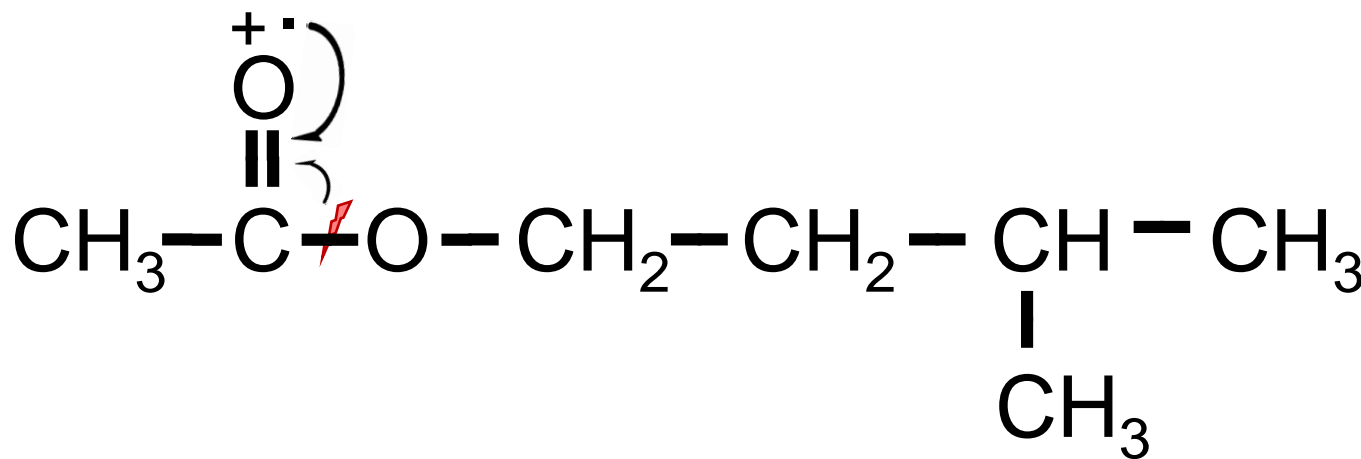
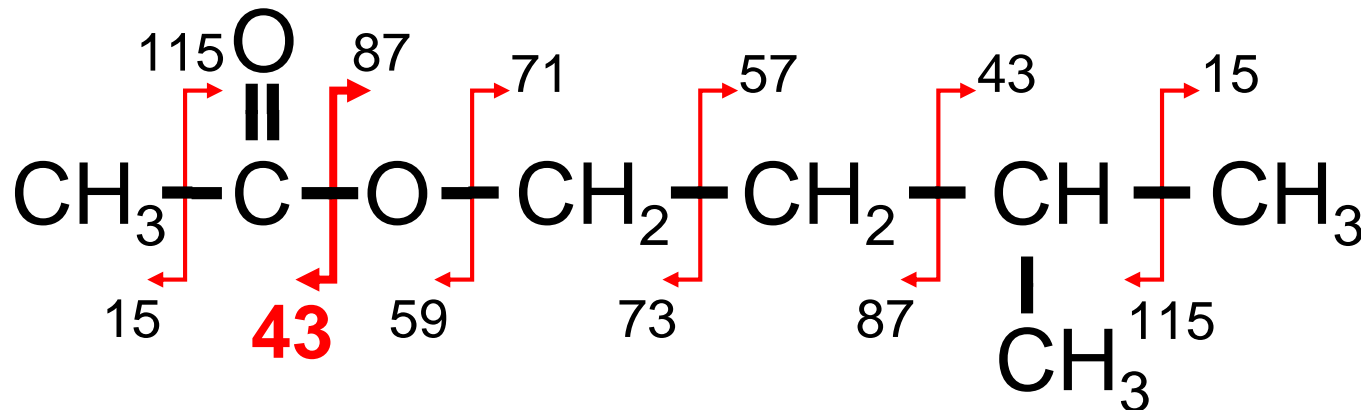


±2 の差は許容

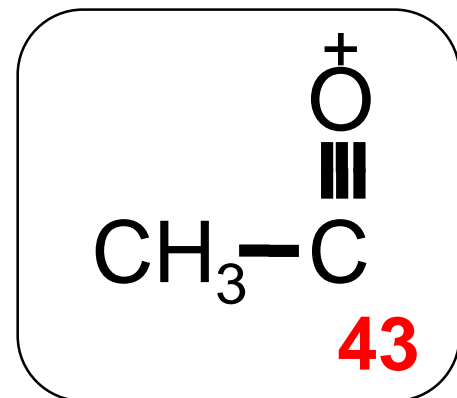
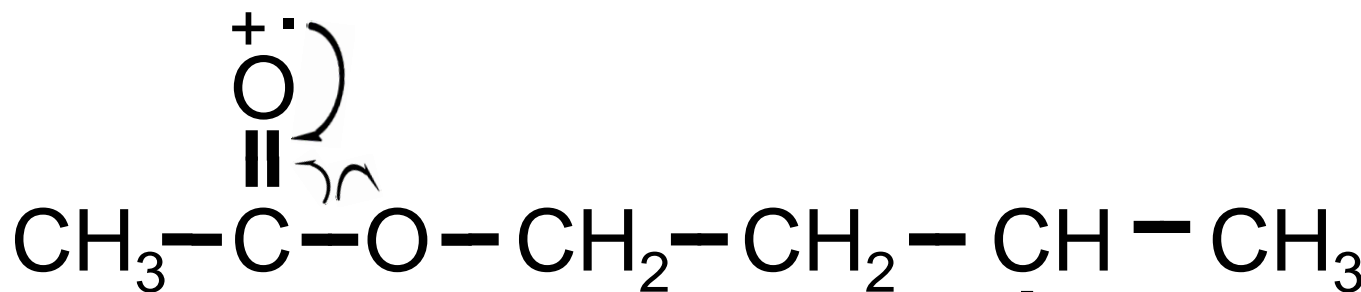
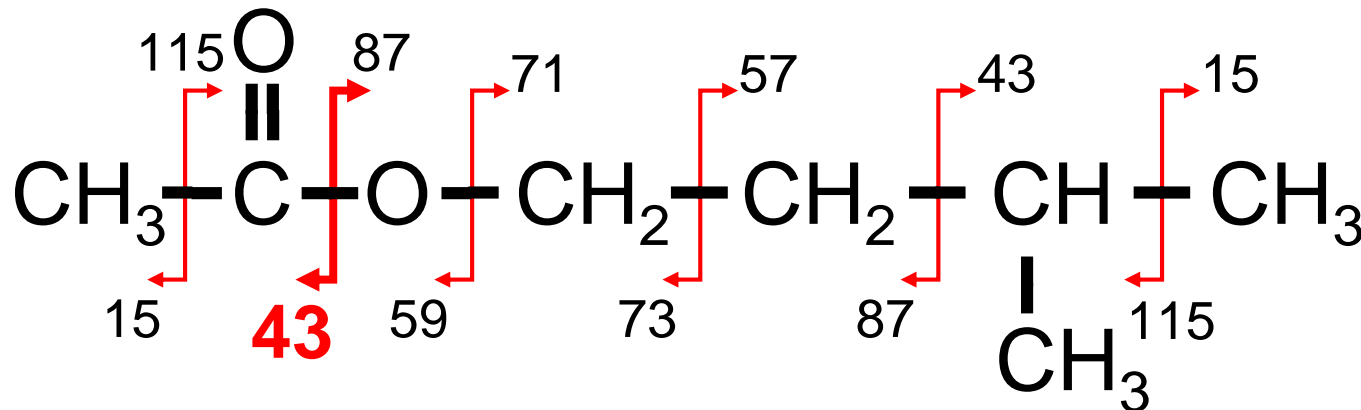
# フラグメント生成機構を予想する(43)



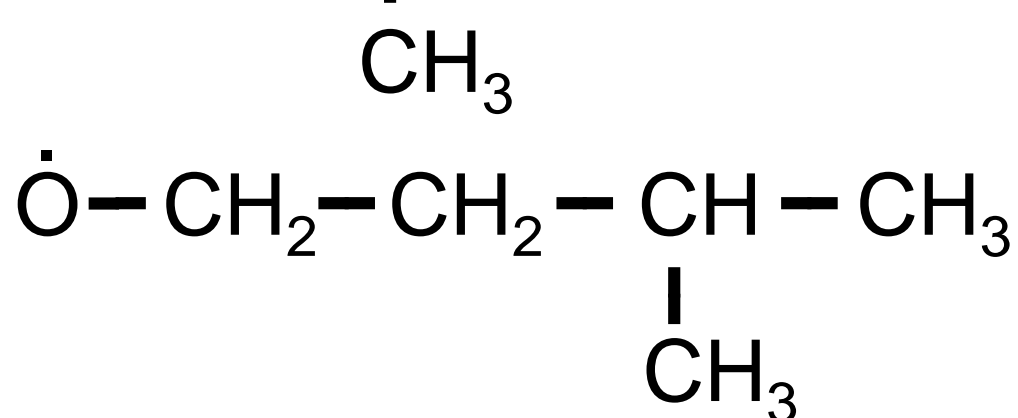
# フラグメント生成機構を予想する(43)



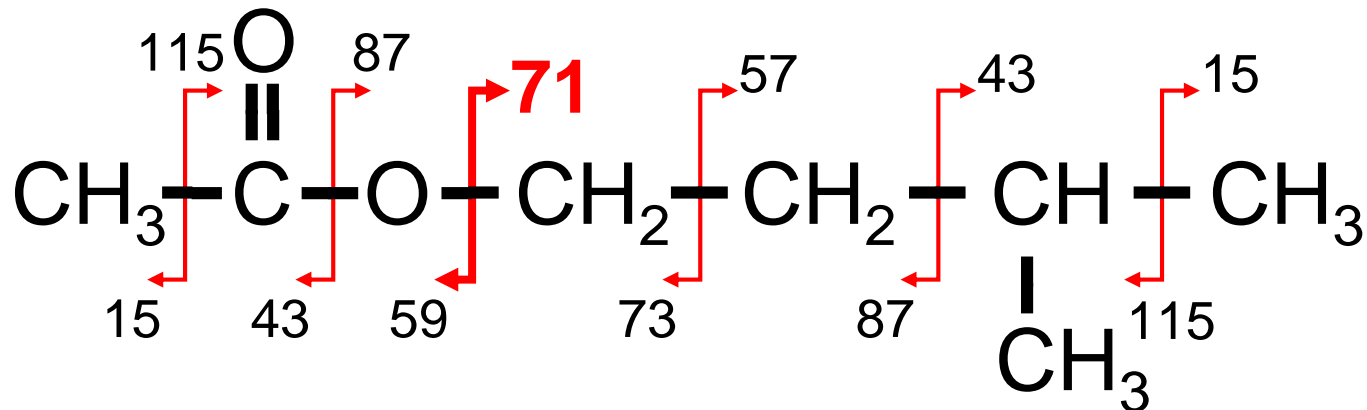
# フラグメント生成機構を予想する(43)



+



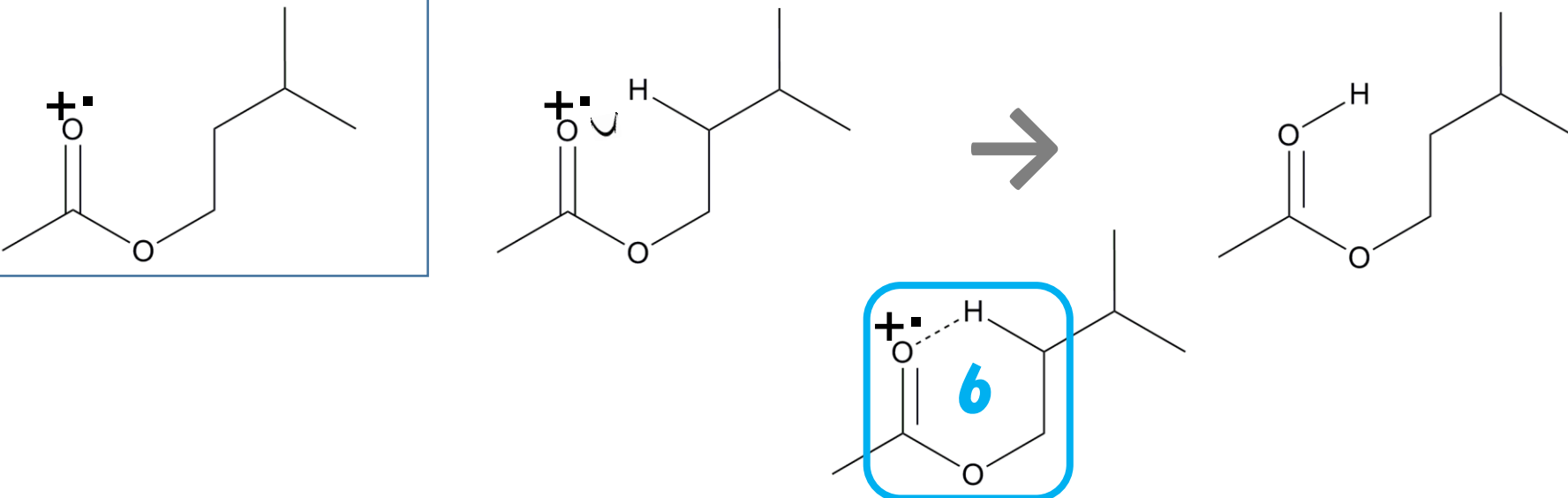
# フラグメント生成機構を予想する(70)



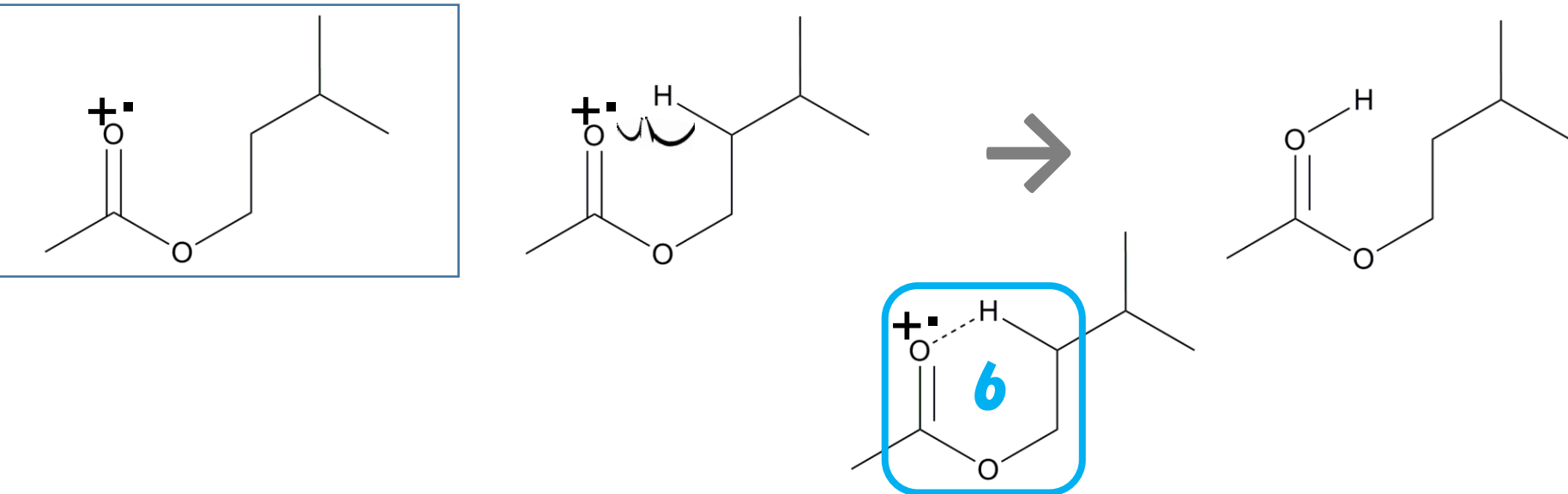
±2の範囲にあるのは71

差が1なので、1回の転移を経ていると予想  
上図の開裂位置の近くでマクラファティー

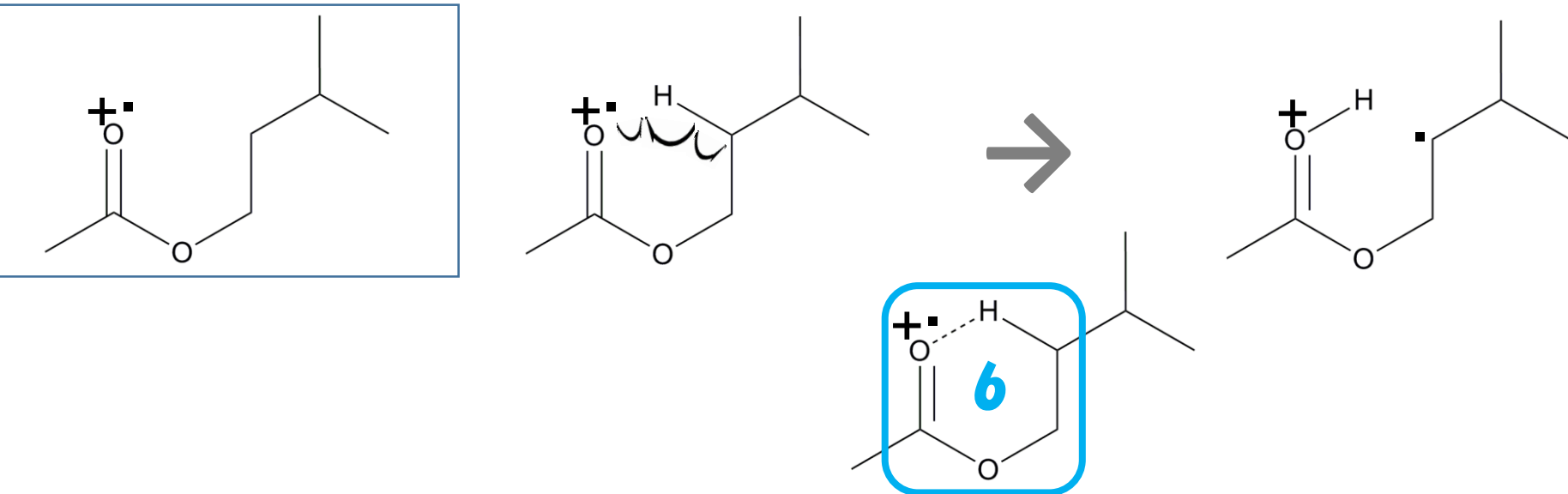
# フラグメント生成機構を予想する(70)



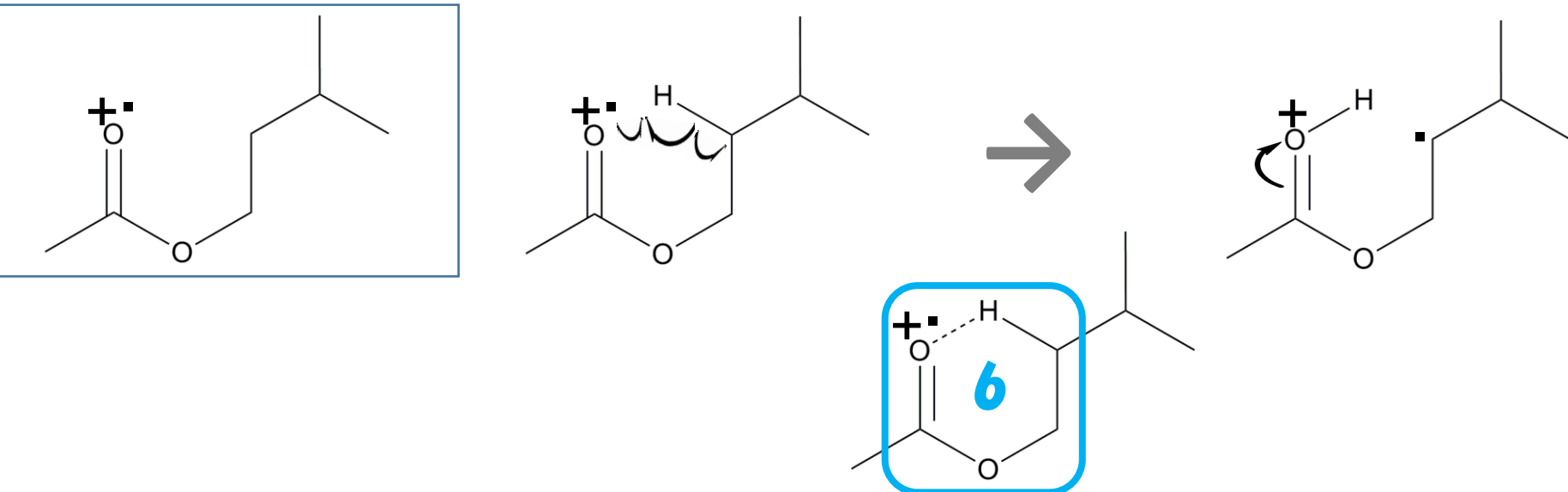
# フラグメント生成機構を予想する(70)



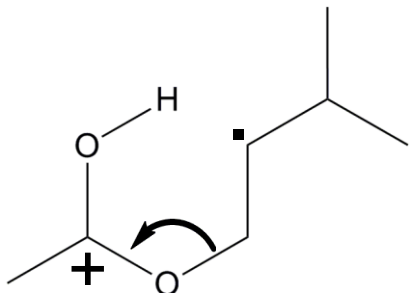
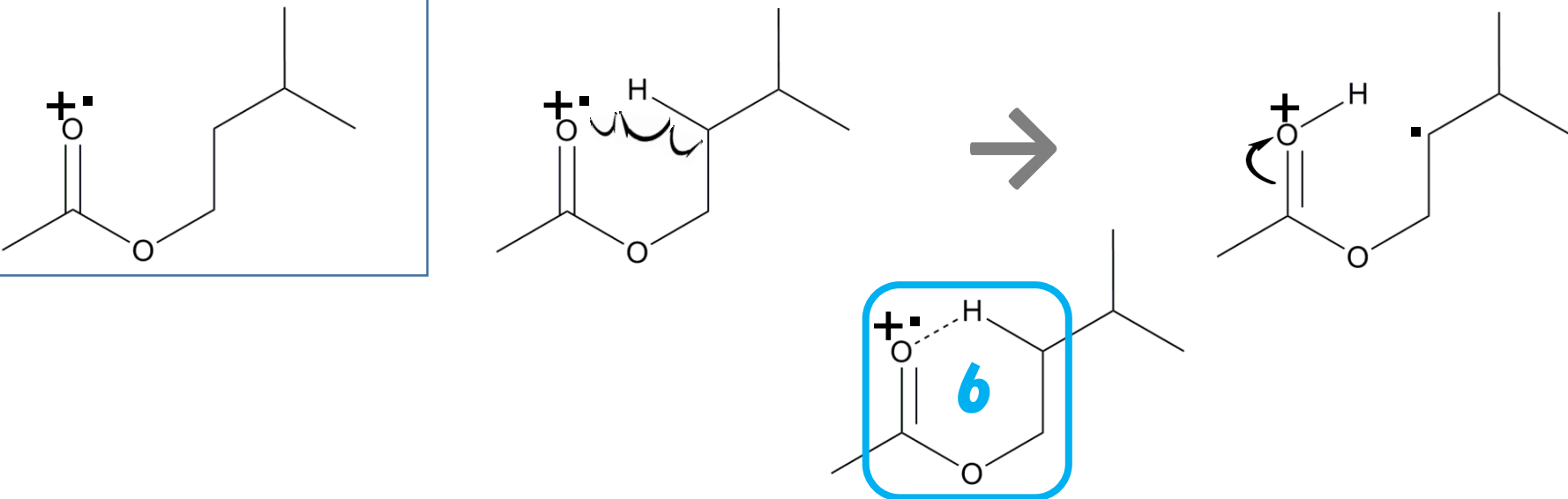
# フラグメント生成機構を予想する(70)



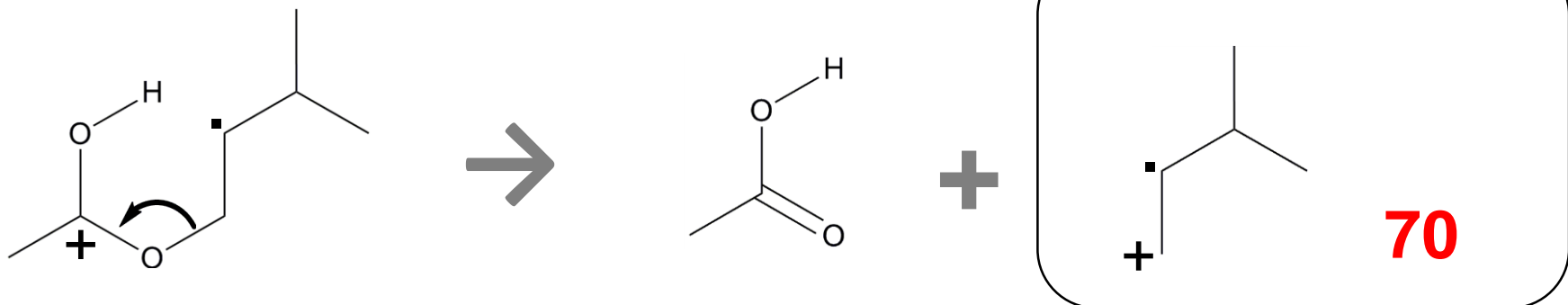
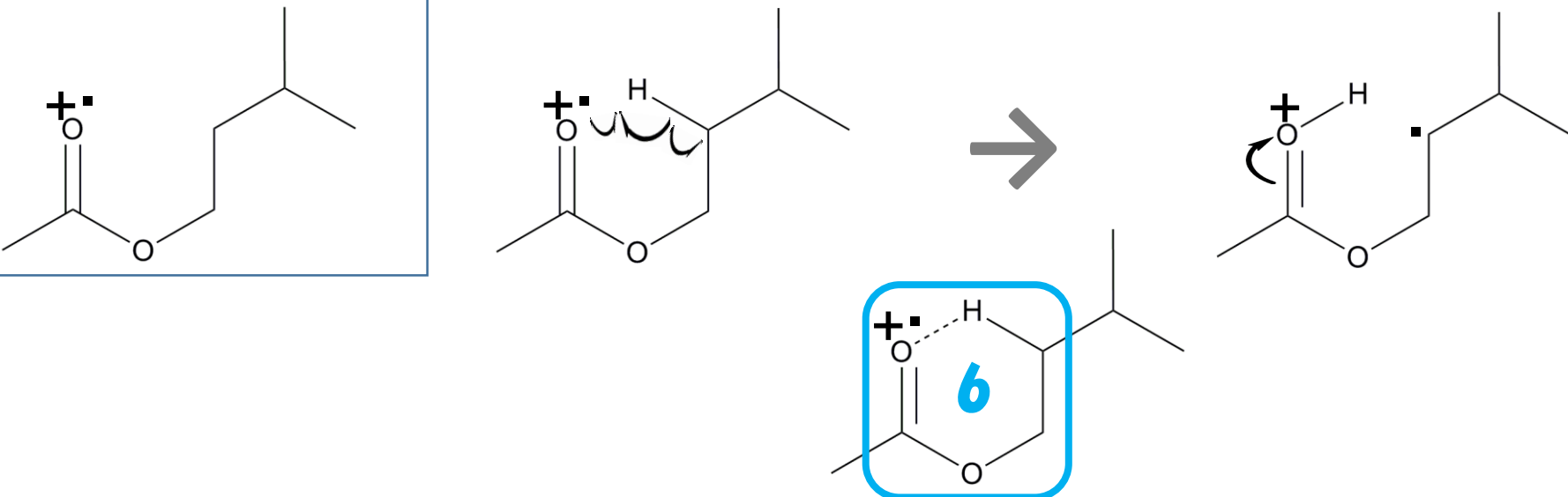
# フラグメント生成機構を予想する(70)



# フラグメント生成機構を予想する(70)



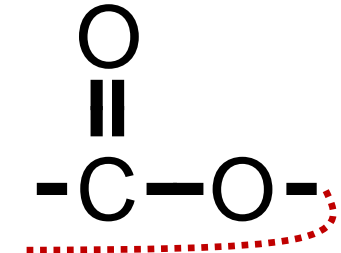
# フラグメント生成機構を予想する(70)



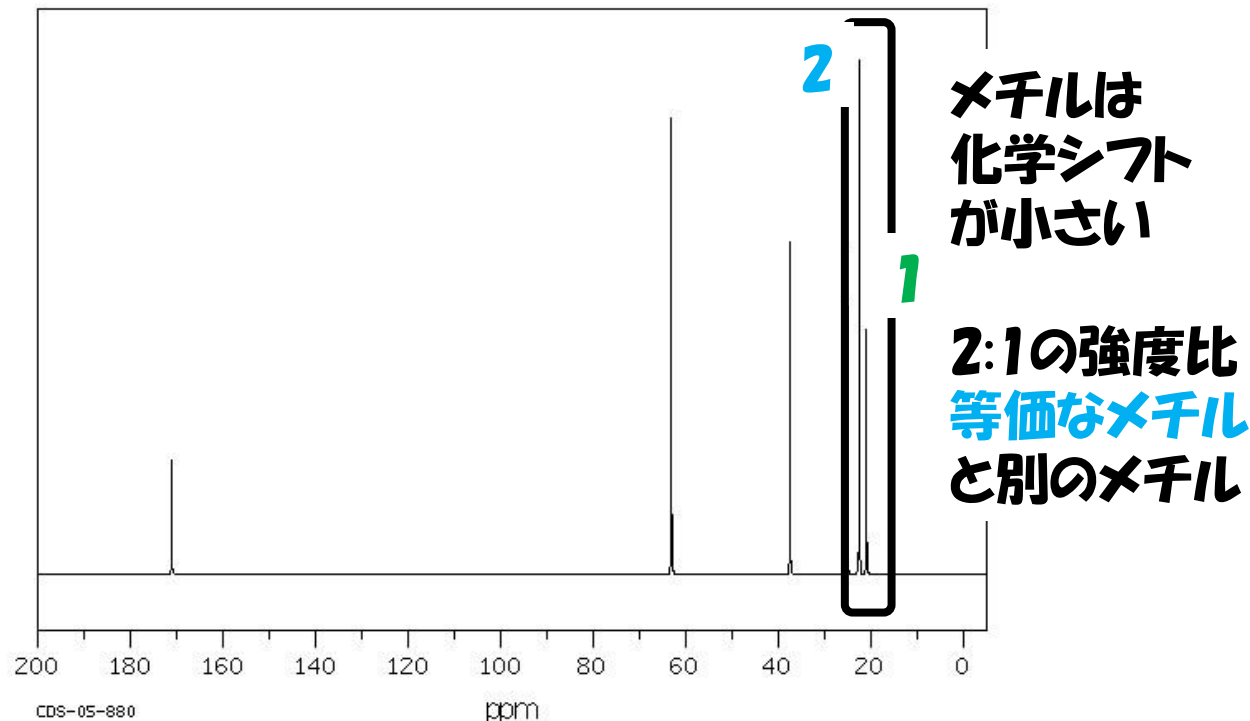
# 炭素にアルファベットを振る

- a 4.09 (2H, t,  $J = 6.8$ )
- b 2.05 (3H, s)
- c 1.69 (1H, m)
- d 1.52 (2H, q like)
- e 0.94 (6H, d,  $J = 7.2$ )

- x 171.3
- a 63.2
- c 37.3
- d 25.1
- e 22.4
- f 21.0



残った c と d  
の割り当ては  
根拠なし  
「c と d の炭素は逆かも」

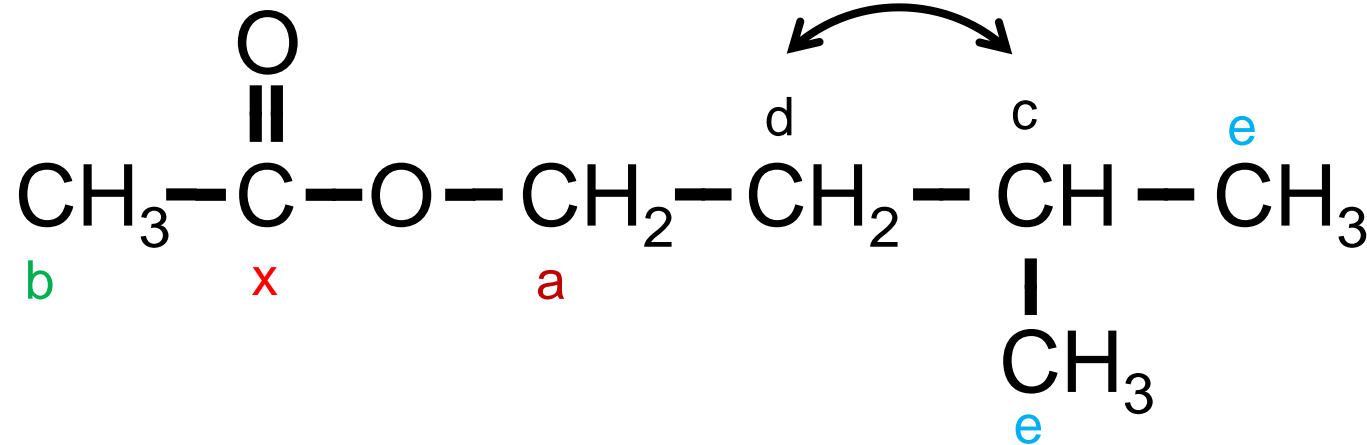


# 炭素の帰属を確認する

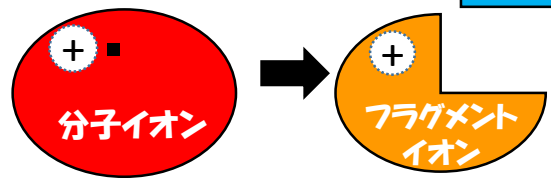
a 4.09 (2H, t,  $J = 6.8$ )  
b 2.05 (3H, s)  
c 1.69 (1H, m)  
d 1.52 (2H, q like)  
e 0.94 (6H, d,  $J = 7.2$ )

x 171.3  
a 63.2  
d e 37.3  
c d 25.1  
e 22.4  
f 21.0

分岐の隣でエステル酸素に近い  
メチレンのシフトが大きい



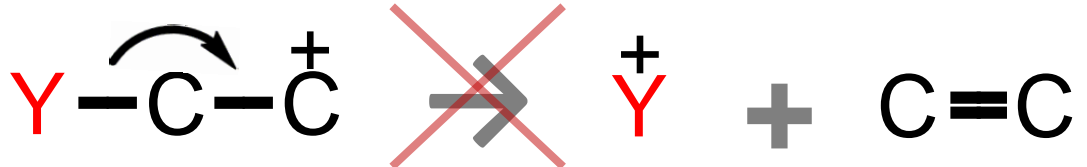
## 結合開裂



原則は有機化学と同じ  
アリル位は安定



$\text{Y}=\text{O}, \text{N}, \text{X}$   
(C以外)



# 「スペクトルを読もう」

はじめに

質量分析法の解説スライドです。

1. H29年春の総集編(PDF,369KB)
2. 原理(PDF,722KB)
3. 精密質量・同位体パターンから分子式推定(PDF,834KB)
4. EI-MSのフラグメンテーション(PDF,818KB)
5. "New"スペクトルに現れるさまざまなイオンから分子の質量を推定する(PDF, 236KB)

質量分析(MS)

1. MS概要
2. 分子量の決定、各種イオン化法
3. いろいろな質量分析計～質量分離の方法
4. いろいろな質量分析計～クロマトグラフ質量分析計
5. スペクトルの見方～測定条件・ヘッダの見方
6. HR-MS(High Resolution Mass Spectrometry)による分子式の推定

核磁気共鳴(NMR)

1. NMR概要
2. NMRの基本原理
3.  $^1\text{H}$ -NMRスペクトルの見方
4.  $^{13}\text{C}$ -NMRスペクトルの見方
5. 二次元NMRとは?(linalool)

応用編

1. 二次元NMR法によるシグナルの帰属(thymol)  
演習(ferulic acidの帰属)
2. 二糖のNMR解析(sucrose) オリゴ糖のNMR解析の基礎としてシュークロースの帰属、糖残基の結合位置の決定を行います。
3. 未知化合物の構造推定(carvone)と立体化学の考察(NOESY,NOE差スペクトル)  
演習-1  
演習-2
4. 配糖体の構造解析(naringin)アグリコンの構造推定、糖の結合位置決定を行います。



「MS NMR」で検索

<http://lab.agr.hokudai.ac.jp/ms-nmr/>  
N379室

図書室の上  
情報処理室の向かい  
窓なし金属ドア

平日8:30-17:00